

کاربرد نانو مواد پیشرفته در توسعه فناوری زیست حسگرهای آنژیمی

آرزو سعادتی

پژوهشکده بیومدیسن، دانشگاه علوم پزشکی تبریز، تبریز، ایران

نسرین شادجو

پژوهشکده نانوفناوری، گروه نانو شیمی، دانشگاه ارومیه، ارومیه، ایران

محمد حسن زاده*

پژوهشکده بیومدیسن، مرکز تحقیقات کاربردی دارویی، دانشگاه علوم پزشکی تبریز، تبریز، ایران

چکیده: استفاده از آنژیمها به دلیل اختصاصیت و ویژگی‌های کاتالیستی بالا برای تهیه زیست‌حسگرهای رایج است. به منظور توسعه حسگرهای زیستی آنژیمی، آنژیم با روش‌های گوناگون مانند جذب، به دام افتادن، پیوند کووالانسی، اتصال عرضی و میل ترکیبی بر روی سطح مبدل تشییت می‌شود. برای افزایش سرعت انتقال الکترون و کاتالیز واکنش‌های آنژیمی، آنژیم بر روی/درون نانومواد گوناگون از جمله نانوذره‌های کربن مانند نانولوله‌های کربن و گرافن، نانوذره‌های فلزی مانند طلا، نانوذره‌های سیلیکا و مانند آن تشییت می‌شود. در این مطالعه، کاربرد نانو مواد پیشرفته در ساختار زیست‌حسگرهای آنژیمی مورد مطالعه قرار می‌گیرد.

واژه‌های کلیدی: زیست‌حسگر؛ آنژیم؛ نانومواد؛ زیست فناوری؛ نانوفناوری.

KEYWORDS: Biosensor; Enzyme; Nanomaterial; Biotechnology; Nanotechnology.

مقدمه

شیمیابی در انواع نمونه‌ها می‌باشد [۱، ۲]. نیومن و همکاران زیست‌حسگر را به عنوان یک وسیله تحلیلی متراکم دارای یک حسگر زیستی یا مشتق‌های زیستی که به یک مبدل فیزیکو‌شیمیابی متصل شده و یک سیگنال الکترونیکی دیجیتال گستته یا پیوسته‌ی متناسب با یک آنالیت یا گروهی از آنالیتها را تولید می‌کند [۳]. در عمل زیست‌حسگرها وسیله‌هایی هستند که قادر به تشخیص آنالیت زیستی خاص و تبدیل وجود و یا غلظت آن به سیگنال‌هایی که به آسانی تشخیص داده شده و تجزیه تحلیل می‌شوند.

به دلیل افزایش مواد خطرناک و عامل‌های بیماری‌زا در محیط، توسعه وسیله‌های شناسائی بسیار حساس و گزینشی اهمیت ویژه‌ای دارد. با وجود پیشرفتهای چشمگیر، ابزارهای تشخیصی حجمی هستند و نیاز به افراد مختص و مقدار زیادی مواد دارند. در این زمینه، حسگر زیستی برای توسعه دستگاه‌های حساس، اختصاصی و در همان حال کوچک و ساده تلاش‌های بسیاری کرده است [۴]. زیست‌حسگر یک وسیله‌ی تحلیلی است که شامل یک عنصر فعال زیستی با یک مبدل فیزیکی مناسب برای تولید سیگنال قابل اندازه‌گیری، متناسب با غلظت گونه‌های

+E-mail: hasanzadehm@tbzmed.ac.ir ; hasanzadeh@yahoo.com

*عهده دار مکاتبات

که در آن‌ها جز زیستی از آپتامر (رشته‌های سنتزی اسیدهای نوکلئیک که برای شناسایی یک آنالیت خاص طراحی می‌شود) تشکیل می‌شود. حسگرهای زیستی مبتنی بر آنزیم به دلیل ظرفیت‌های کاتالیستی و اتصالی آنزیم برای تشخیص اختصاصی استفاده می‌شوند و از سایر زیست‌حسگرها حساس‌تر هستند. فراوردهای واکنش کاتالیز شده توسط آنزیم به طور مستقیم یا با استفاده از یک نشانگر شناسایی می‌شود [۸]. در این مطالعه روش‌های گوناگون تثبیت آنزیم و نانومواد به کار رفته در تثبیت آنزیم بررسی می‌شود.

حسگرهای زیستی آنزیمی

این سامانه، رایج‌ترین روش تشخیص است که در آن آنزیم (عنصر شناسایی) با مبدل ترکیب شده و با سوبسترا (آنالیت هدف) واکنش انتخابی می‌دهد [۹، ۱۰]. برخی از ویژگی‌های آنزیم‌ها باعث شده که آن‌ها نسبت به کاتالیست‌های شیمیایی معمولی سودمندتر باشند. یکی از بهترین آن‌ها سطح بالای کاتالیستی است که به مراتب برتر از کاتالیست‌های شیمیایی هستند و درجه بالای اختصاصیت که به آن‌ها اجازه اعمال تبعیض نه تنها بین واکنش‌ها بلکه بین بسترها (سوبسترات اختصاصی)، قطعه‌های همانند مولکول‌ها و ایزومرهای نوری را می‌دهد. این ویژگی تضمین می‌کند که واکنش کاتالیز شده توسط واکنش‌های جانبی مختلف نمی‌شود در نتیجه فراورده‌ی پایانی مورد نیاز را تولید می‌کند درحالی که فراورده‌ی ناخواسته تولید شده حذف می‌شود. در واقع این منجر به افزایش بازده واکنش و کاهش هزینه‌های مواد می‌شود. افزون بر این، آنزیم به طور کلی در شرایط معتدل دما، فشار و pH با سرعت واکنش به دست آمده توسط کاتالیست شیمیایی در شرایط شدیدتر عمل می‌کنند. این باعث صرفه جویی در انرژی فرایند و کاهش هزینه‌های تولید می‌شود. این ویژگی‌های یگانه آنزیم‌ها به عنوان کاتالیست از سال ۱۹۶۰ میلادی استفاده شده و بسیاری از فرایندهای کاتالیز شده‌ی آنزیمی با موفقیت به صنعت معرفی شده است. به عنوان نمونه در تولید مواد غذایی خاص، داروها و مواد شیمیایی کشاورزی، اما در حال حاضر نیز به طور فزاینده در سنتر شیمیایی آلمانی به کار برد می‌شوند [۱۱].

دسته بندی و کارایی آنزیم‌ها برای تشخیص آنالیت‌ها در جدول ۱ آورده شده است [۱۲، ۱۳]. اکسیدوردوکتاژها برای شناسایی گلوکز [۱۴]، فروکتوز [۱۳]، آمینواسیدها [۱۳] و لاکтанات [۱۵] استفاده می‌شوند. ترانسفرازها برای آنالیز زیست‌حسگری آترازین [۱۶]

همه حسگرهای زیستی سه قسمت دارند: یک عنصر شناسایی^(۱) (به عنوان نمونه آنتی‌بادی‌ها، پروتئین‌های گیرنده، اسیدهای نوکلئیک، آنتی‌ژن یا آنزیم‌ها) که سیگنال را از محیط در قالب یک آنالیت شناسایی می‌کند، یک مبدل سیگنال که سیگنال‌های زیستی را به یک خروجی الکترونیکی تبدیل می‌کند و یک پردازنده سیگنال که نتیجه‌ها را ذخیره کرده و به نمایش می‌گذارد [۵]. دستورالعمل جدید در حسگرهای زیستی اغلب شامل بهبود عناصر شناسایی و یا توسعه مواد جدید برای بهبود انتقال سیگنال است. نمونه‌هایی از این مواد عبارتند از نانولوله‌های کربنی و گرافن در سامانه‌های الکتروشیمیایی و ساختارهای نانوپلاسمونیک در سامانه‌های نوری می‌باشد [۶].

حسگرهای زیستی را می‌توان بر اساس بیورسپتور و یا نوع مبدل طبقه بندی کرد. زیست‌حسگرها براساس نوع مبدل به چهار دسته طبقه‌بندی می‌شوند: زیست‌حسگر نوری (رنگ سنجی، فلورسانس، لومینسانس، تداخلی)، مبتنی بر جرم (پیزوالکتریک و موج صوتی)، گرمایی و الکتروشیمیایی (آمپرومتریک، پتانسیومتریک، ولتامتریک و رسانایی سنجی) [۷]. شایع‌ترین بیورسپتورهایی که در حسگری زیستی به کار برد می‌شوند مبتنی بر برهمکنش آنتی‌بادی / آنتی‌ژن، برهمکنش اسیدنوکلئیک، برهمکنش آنزیمی، برهمکنش سلولی/میکروارگانیسم (یا پروتئین‌ها) و برهمکنش با استفاده از مواد بیومیمتیک (مانند بیورسپتورهای مصنوعی) هستند [۷].

حسگرهای زیستی مبتنی بر آنتی‌ژن / آنتی‌بادی به دلیل اتصال بسیار اختصاصی بین آنتی‌ژن و آنتی‌بادی به کار برد می‌شوند. این اتصال (که با نشاندار کردن بهوسیله ماده فلورسنت شناسایی می‌شوند) باید در شرایطی که برهمکنش‌های غیراختصاصی کمینه شده برقرار شود. حسگرهای زیستی مبتنی بر ویروس و سلول به دلیل برخی از ویژگی‌های میکروارگانیسم‌ها مانند متابولیسم یا خاصیت بیولومینسانس باکتری‌ها برای تشخیص مولکول‌های خاص به کاربرده می‌شوند. زیست‌حسگرهای مبتنی بر نوکلئیک اسید به دلیل رابطه‌های مکمل خاص بین جفت بازهای DNA (آدنین-تیمین و سیتوزین-گوانین) استفاده می‌شوند. به عنوان نمونه می‌توان مقدار کمی از DNA باکتری‌ای را از طریق جفت کردن آن با یک رشته مکمل DNA شناخته شده تشخیص داد. زیست‌حسگرهای مبتنی بر مواد بیومیمتیک^(۲)، ایزارهای سنتزی یا مصنوعی هستند که عملکرد زیست‌حسگرهای طبیعی را نقلید می‌کنند. آپتاحسگرها نمونه‌هایی از این نوع زیست‌حسگرها هستند

(۱) Bioreceptor

(۲) Biomimetic

جدول ۱- شش گروه آنژیمی و عملکرد آنها در تشخیص آنالیت.

عملکرد	دسته‌بندی آنژیم	شماره
واکنش اکسیداسیون - احیا	اکسیدوروکاتازها	۱
انتقال گروه	ترانسفرازها	۲
انتقال گروه عاملی به آب (واکنش هیدرولیز)	هیدرولازها	۳
افزوختن یا حذف گروه به شکل پیوند دوگانه	لیازها	۴
انتقال درون مولکولی گروه (ایزومریزاسیون)	ایزومرازها	۵
اتصال دو مولکول به هم	لیگازها	۶

با وجود برتری‌های غیر قابل انکار آنژیمها به عنوان ابزار تجربه‌ای، تعدادی مشکل‌های عملی در استفاده از آنژیمها وجود دارد. از جمله ثبات گرمایی پایین، بازه pH کم، فعالیت‌های مؤثر در محیط آبی، هزینه‌های بالای جداسازی و خالص‌سازی آنژیم‌ها، بی‌ثباتی ساختار آن‌ها زمانیکه از محیط طبیعی خود جدا شده‌اند، حساسیت برای پردازش شرایط دیگر نسبت به شرایط دلخواه و برای ردیابی میزان سوبستراها ای که می‌توانند به عنوان مهارکننده عمل کنند. همچنین، برخلاف کاتالیست‌های شیمیایی ناهمگن متداول، بیشتر آنژیم‌ها در سامانه‌های کاتالیستی همگن حل می‌شوند که به همین دلیل فراورده را آلوده کرده و امکان بازیافت آن‌ها به شکل فعال از مخلوط واکنش‌ها برای استفاده دوباره وجود ندارد [۱۱، ۲۳]. بهینه‌سازی ویژگی‌های خاص آنژیم‌ها از جمله گزینش، حساسیت، ثبات و دقت همچنان مورد نیاز است. به منظور بهبود این پارامترها پژوهش‌ها به تولید مولکول‌های زیستی نوین با ویژگی‌های طراحی شده‌ی مناسب متمرکز شده و مهندسی پروتئین به عنوان یک استراتژی ممکن برای بهبود عملکرد آنژیم توسعه پیدا کرده است. به همین دلیل با مواد نوین از جمله نانومواد و نانوساختارها همراه شده‌اند [۲۴].

عامل‌های مؤثر در تثبیت آنژیم

تشخیص تغییرهای ویژگی‌های فیزیکی و شیمیایی آنژیم در نتیجه‌ی تثبیت بسیار مهم است. دیده شده است که تغییرهای ریز محیطی تحمل شده به آن‌ها توسط ماتریس نگهدارنده و فراورده‌های به دست آمده از فعالیت خود آنژیم منجر به تغییر ثبات و همچنین ویژگی‌های کیتیکی آنژیم‌ها می‌شود. سطحی که آنژیم در آن تثبیت می‌شود دارای چندین نقش اساسی مانند حفظ ساختار سوم آنژیم‌ها با تشکیل کمپلکس انتقال الکترون

و هیدرولازها برای تعیین ساکارز به کار برده می‌شوند [۱۷]. محتوای فنیل آلانین در نوزادان با استفاده از لیازها تعیین می‌شود [۱۸]. ایزومرازها برای تعامل با نمونه‌های دارویی [۱۹] و لیگازها برای تشخیص غیر نوکلئیک اسید [۱۳] مورد استفاده قرار می‌گیرند. آنژیم‌ها تمايل بالا به سوبستراهای مربوطه دارند و بدون این که بهطور دائم تغییر کنند توانایی کاتالیز چند واکنش شیمیایی زیستی را دارند [۲۰].

حسگرهای زیستی آنژیمی، تجزیه یا مهار آنژیم توسط آنالیت هدف را اندازه‌گیری می‌کنند به عنوان نمونه: آنژیم می‌تواند آنالیت را متابولیزه کرده و غلظت آنالیت را با اندازه‌گیری تغییر شکل کاتالیستی آنالیت به وسیله آنژیم اندازه‌گیری کند و یا آنژیم توسط آنالیت مهار شده و غلظت آنالیت با کاهش تشکیل فراورده‌های آنژیم در ارتباط است. بنابراین حسگرهای زیستی آنژیمی به ترتیب می‌توانند تولید یا مصرف گونه را تشخیص دهند. به طور معمول تنها یک آنژیم در حسگرهای زیستی آنژیمی استفاده می‌شود اما پیشرفت در این زمینه شامل ترکیب آنژیم‌ها برای به دست آوردن سامانه‌های چند آنژیمی که در آن چند آنژیم وارد بستر یکسان می‌شود [۲۱]. فراورده‌ی یک واکنش آنژیمی توسط آنژیم دیگر شناسایی شده و این باعث افزایش گزینش‌پذیری و پایداری حسگرهای چند آنژیمی می‌شود. به عنوان نمونه در زیست‌حسگر گلوکز که براساس تثبیت دو آنژیم هورس رادیش پراکسیداز و گلوکز اکسیداز تهیه شده است، اکسایش گلوکز به وسیله گلوکز اکسیداز منجر به تولید پراکسید هیدروژن می‌شود که آنژیم هورس رادیش پراکسیداز آن را به اکسیژن تبدیل می‌کند. اکسیژن تولید شده دوباره مصرف شده و به این ترتیب مصرف اکسیژن کاهش می‌یابد از طرف دیگر با حذف پراکسید هیدروژن از محیط فعالیت آنژیم را حفظ می‌شود [۲۲].

(۱) Non-nucleic acids

با آنژیم در تماس است، تفاوت در ویژگی‌های فیزیکی و ریخت شناسی آن‌ها بر ثبت آنژیم و ویژگی‌های کاتالیتیکی آن تاثیر می‌گذارد [۳۶، ۳۷].

نگهدارنده‌ها با توجه به ترکیب‌های شیمیایی خود به دو گروه آلی و معدنی طبقه‌بندی می‌شوند و به پلیمرهای طبیعی و مصنوعی نیز تقسیم می‌شوند. نگهدارنده‌هایی که اغلب استفاده می‌شوند شامل کربوکسی متیل سلولز، نشاسته، کلاژن، سفاروز اصلاح شده، رزین‌های تبادل یونی، زغال چوب فعل، سیلیس [۳۸]، خاک رس [۳۹]، اکسید الومینیوم، تیتانیوم، هیدروکسی‌آپاتیت، سرامیک، زمین دارای جدار سیلیسی [۴۰–۴۲]، آگارز [۲۵] یا شیشه متخلخل که یک ماده آلی [۴۳] و پلیمر خاص است [۴۴]. مواد مزوپروس سطح بزرگ و تعداد زیادی از منافذ را برای بارگذاری بیشتر آنژیم فراهم می‌کند [۴۵]. به طور کلی به دلیل ایجاد سطح بزرگ برای بارگذاری آنژیم و محافظت بیشتر از آنژیم، نگهدارنده‌های متخلخل برتری داده می‌شوند. پارامترهای اندازه ذره‌ها و روزنده‌های نگهدارنده سطح کلی ایجاد می‌کند که به شدت بر ظرفیت اتصال آنژیم تاثیر می‌گذارد. در این نگهدارنده‌ها، به منظور بهینه‌سازی ویژگی‌های جریان و ظرفیت باید توزیع روزنده‌ها کنترل شود [۴۶].

روش‌های ثبت آنژیم

به منظور توسعه حسگرهای زیستی مبتنی بر آنژیم، آنژیم باید به درستی به سطح مبدل متصل شود. این فرایند به عنوان ثبت شناخته شده است. ثبت آنژیم در طراحی بخش شناسایی زیستی^(۱) از ویژگی‌های مهم حسگرهای زیستی آنژیمی است. ثبت بهینه فعالیت مولکول‌های زیستی را با پایداری طولانی مدت عملکردشان حفظ می‌کند. به طور کلی برای ثبت آنژیم عامل‌های بسیاری از جمله ویژگی‌های حمایت از مواد، عملکرد مساوی بر روی سطح آنژیم، وزن مولکولی آنژیم، نقطه ایزوکتریک و قطبیت آنژیم، نفوذ بستر به سمت لایه آنژیمی و انتقال فراورده‌ی الکترواکتیو به سمت سطح الکتروود در نظر گرفته می‌شود [۴۷].

راهبردهای گوناگونی برای ثبت آنژیم می‌توان پیش‌بینی کرد: جذب^(۲)، به دام افتادن^(۳)، پیوند کووالانسی^(۴)، اتصال عرضی^(۵) یا میل ترکیبی^(۶) که در شکل ۱ نشان داده شده است [۴۸].

(۱) Biorecognition

(۲) Adsorption

(۳) Entrapment

یا با تشکیل پیوندهای کوالانسی یا هیدروژنی با ماتریس می‌باشد [۲۵]. از این رو زمانی که آنژیم در یک سطح ثبت شود می‌شود انتخاب روش درست اتصال بین گروه‌های واکنش‌پذیر در سطح ماتریس و رزیدوهای بیرونی بستر اتصال یا جایگاه فعل آنژیم ضروری است [۲۶]. حفظ ساختار سوم فعل کاتالیتیکی آنژیم نیز یکی از عامل‌های ضروری در به بیشترین رساندن ثبات و واکنش‌پذیری آنژیم در حالت ثبت شده است [۲۷]. از این رو در توسعه کاتالیست‌های زیستی ثبت شده باید دو عامل اساسی در نظر گرفته شود: انتخاب نگهدارنده ثبت، روش‌های ثبت.

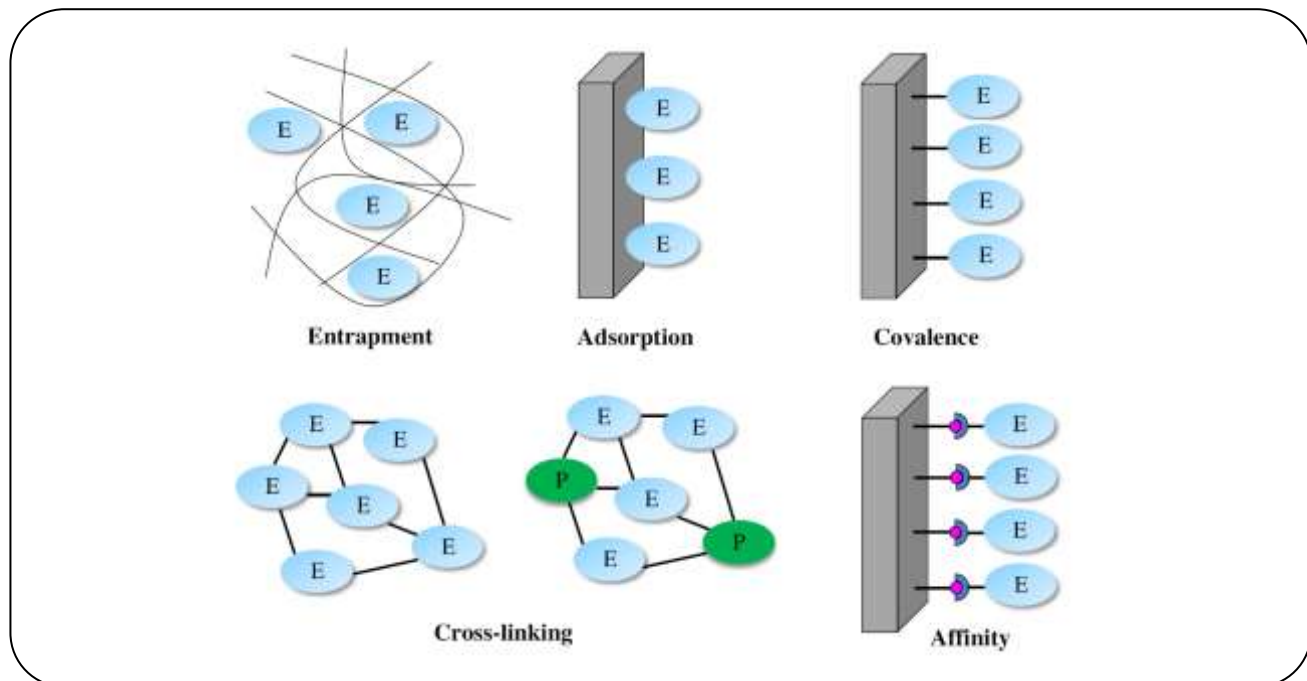
انتخاب نگهدارنده

ویژگی‌های ماتریکس در تعیین اثربخشی سامانه آنژیم ثبت شده اهمیت دارد. انتخاب مواد نگهدارنده مناسب بر روند ثبت و به موجب آن بر ویژگی‌های آنژیم و مواد نگهدارنده اثر می‌گذارد [۲۸]. ویژگی‌های نگهدارنده ایده‌آل شامل آبدوستی، زیست سازگاری، مقاومت در برابر حمله میکروبی، مقاومت در برابر فشرده‌سازی است که به آسانی با هزینه کم در دسترس است [۳۰، ۳۱]. اگرچه یک نگهدارنده عمومی برای آنژیم‌ها وجود ندارد اما ویژگی‌های خاصی از مواد نگهدارنده از جمله داشتن میل ترکیبی بالا برای پروتئین، در دسترس بودن گروه عاملی فعل، پایداری مکانیکی، سفتی، امکان بازسازی، غیرسمی و زیست تحربی پذیری را باید در نظر گرفت [۳۱]. استفاده از مواد رایج مانند حامل‌های مبتنی بر سیلیکا، رزین‌های اکریلیک، پلیمرهای مصنوعی، غشاء‌های فعل و رزین‌های تبادل برای ثبت آنژیم، اشکال‌هایی مانند هزینه‌ی بالای مواد و فناوری مورد نیاز برای اجرای روش‌های ثبت دارد که تا حد زیادی هزینه‌های کاتالیست زیستی را افزایش می‌دهد. نگهدارندها و روش‌های ثبت گوناگونی به منظور بهبود فعالیت آنژیم توسعه یافته است [۳۲، ۳۳]. انتخاب مواد نگهدارنده یک موضوع نسبتاً پیچیده است که بستگی به نوع آنژیم، واسطه‌های واکنش، خط مشی اینمی در زمینه شرایط هیدرودینامیکی و شرایط واکنش دارد [۳۴، ۳۵]. نگهدارندهای گوناگون ارایه شده ویژگی‌های فیزیکی و شیمیایی متنوعی (به عنوان نمونه اندازه روزنده، تعادل آبدوستی / آبگریزی) برای اتصال به آنژیم دارند. از آنجایی که نگهدارنده به طور مستقیم

(۴) Covalent bonding

(۵) Cross-linking

(۶) Affinity



شکل ۱- نمایش شماتیک روش‌های اصلی ثبیت آنزیم. E: آنزیم، P: پروتئین بی‌اثر (۴۸).

انتخاب مناسب‌ترین روش بستگی به ماهیت آنزیم، مبدل و حالت تشخیص دارد. بهترین روش ثبیت آنزیم زمانی که استفاده از زیستحسگر نیاز به بیشترین حساسیت و یا به جای آن تمرکز بر پایداری دارد تغییر می‌کند. تکرار پذیری، هزینه و دشواری فرایند ثبیت نیز باید در نظر گرفته شود. اگر ثبیت باعث دناتوره شدن یا تعییرهای کونفورماسیونی و یا تغییر در جایگاه فعال آنزیم اصلاح شده شود حساسیت کاهش می‌یابد. حساسیت بیشتر با ثبیت جهت‌دار آنزیم در سطح مبدل یا با انتخاب ماهیت قسمت جداکننده بین آنزیم و نگهداری با پیوند کووالانسی به دست می‌آید جداکننده به نسبت طویل و انعطاف‌پذیر مانند پلی‌اتیلن گلیکول می‌تواند از موانع فضایی و تحرک محدود آنزیمهای ثبیت شده جلوگیری کند [۴۸].

جذب

جذب آنزیم بر روی بسترهای جامد، ساده‌ترین روش ثبیت فیزیکی است [۵۰]. آنزیم حل شده در محلول و بستر جامد در تماس با محلول آنزیم در یک دوره زمانی ثابت قرار می‌گیرد. این آنزیم جذب سطح نشده و سپس توسط بافر شستشو برداشته می‌شود. مکانیسم جذب مبتنی بر پیوندهای ضعیف مانند نیروهای واندروالس و تعامل‌های الکترواستاتیک یا آب دوستی هستند.

برتری‌ها و عیوب‌های هر روش در جدول ۲ بیان شده است [۴۸، ۴۹]. در برخی موارد نیز پروتکل ثبیت آنزیم مبتنی بر ترکیب چند روش ثبیت است. به عنوان نمونه یک آنزیم می‌تواند پیش از به دام افتادن در یک پلیمر متخلخل، با استفاده از جذب، تمایل یا کووالانس پیش ثبیت شود.

به نظر می‌رسد که ثبیت آنزیم یک عامل کلیدی برای گسترش حسگرهای زیستی کارآمد با کارایی مناسب مانند پایداری ذخیره سازی، حساسیت بالا، گزینش پذیری بالا، زمان پاسخ کوتاه و تکرار پذیری بالا است. مولکول‌های زیستی ثبیت شده برای حفظ ساختار، عملکرد و فعالیت زیستی خود پس از ثبیت باید به شدت محدود به سطح بوده و در طول استفاده از زیستحسگر جدا نشود. افزون بر این، زیستحسگری که برای کاربردهای طولانی‌مدت پایدار باشد ایده آل است. نوع روش ثبیت بر فعالیت و ثبات حسگرهای زیستی آنزیمی تاثیر می‌گذارد. عامل‌هایی مانند دقت اندازه‌گیری، تکرار پذیری از یک زیستحسگر به زیستحسگر دیگر و طول عمر پهراهبرداری به شدت تحت تأثیر پایداری آنزیم قرار می‌گیرند. چون عملکرد کاتالیستی یک زیستحسگر به شدت تحت تأثیر فرایند ثبیت قرار می‌گیرد، تلاش‌های بسیاری برای گسترش راهبردهای ثبیت به منظور اطمینان از حساسیت و پایداری بیشتر زیستحسگرها انجام شده است.

جدول ۲- برتری‌ها و عیوب‌های ۵ روش عمده ثبت آنزیم شامل جذب، به دام افتادن، پیوند کووالانسی، اتصال عرضی، میل ترکیبی.

روش ثبت آنزیم	ماهیت اتصال	برتری‌ها	عیوب‌ها
جذب	اتصال سست	- ساده و آسان - تطبیق‌پذیری - کاهش کم فعالیت آنزیم	- واجذبی - جذب غیراختصاصی
به دام افتادن	اتصال آنزیم در درون یک ژل یا پلیمر	- انجام نشدن واکنش شیمیابی بین مونومر و آنزیم برای الکتروپلیمریزاسیون - نشت آنزیم - مسدود کردن انتشار	- نیاز به غلظت بالایی از مونومر و آنزیم برای الکتروپلیمریزاسیون
پیوند کووالانسی	پیوند شیمیابی بین گروه‌های فعال آنزیم و نگهدارنده	- بدون مسدود کردن انتشار - پایدار - زمان پاسخ کوتاه - از دست دادن فعالیت بالای آنزیم	- اتصال با فرآورده سمتی
اتصال عرضی	پیوند بین آنزیم / کراس لینکر (مانند گلوتار آلدئید) / مولکول بی اثر	- ساده	- از دست دادن فعالیت بالای آنزیم
میل ترکیبی	اتصال تمایلی بین یک گروه عاملی (به عنوان نمونه آبیدین) در نگهدارنده و لیبل ^(۱) (به عنوان نمونه بیوتین) در توالی پروتئین	- ثبت جهت‌دار و کنترل شده	- نیاز به حضور گروه‌های خاص در آنزیم

^(۱)/Tag

یک شبکه آمفیفیلیک تشکیل شده از پلی دی متیل سیلوکسان^(۱)، فتوپلیمر، ژل سیلیکا، پلی ساکارید یا خمیر کربن ثبت شده است. این روش به آسانی انجام می‌شود. آنزیم، واسطه‌ها و مواد افزودنی را می‌توان به طور همزمان در همان لایه سنجش ترسیب کرد. در این روش عنصر زیستی اصلاح نمی‌شود بنابراین فعالیت آنزیم در طول فرایند ثبت حفظ می‌شود [۴۸]. به دام افتادن محدودیت فیزیکی آنزیم در درون شبکه یا فضای محدود را شرح می‌دهد [۵۴]. به دام افتادن به طور معمول باعث بهبود پایداری مکانیکی شده و شسته شدن آنزیم را به کمینه می‌کند [۵۵] و آنزیم با پلیمر تعامل شیمیابی ندارد. این روش اصلاح مواد کپسوله‌سازی را ممکن می‌کند و امید است که یک ریز محیط مطلوب برای آنزیم ایجاد کند (به عنوان نمونه تطبیق محیط فیزیکی و شیمیابی آنزیم و مواد ثبت) که با انواع مواد از جمله پلیمرها، سل - ژل، کامپوزیت‌های پلیمری / سل - ژل و سایر مواد معدنی به دست می‌آید [۲۵].
بین اندازه روزندهای مواد نگهدارنده و جذب ارتباط وجود دارد به این ترتیب که اگر روزندها بیش از حد کوچک باشد و بر عکس،

این روش هیچ یک از اعمال نگهدارنده را درگیر نمی‌کند و به طور کلی برای فعالیت آنزیم غیرمختسب است. هر چند این روش ثبت آنزا بر اثر غیرفعال شدن آنزیم می‌شود اما مشکل‌هایی نیز دارد: مشکل اصلی اتصال سست آنزیم‌ها به نگهدارنده و واجذبی آنزیم است که منجر به تغییرهای pH دما و قدرت یونی می‌شود. بنابراین، ثبات ذخیره‌سازی و کارایی ضعیف از عیوب‌های حسگرهای زیستی مبتنی بر جذب آنزیم است. مشکل دیگر، جذب غیراختصاصی پروتئین‌ها یا مواد دیگر است. از انواع روش‌های ثبت آنزیم با استفاده از جذب می‌توان به جذب فیزیکی، تعامل الکترواستاتیک و به دام افتادن در محیط میکرو لیپیدی اشاره نمود [۴۸].

به دام افتادن

به دام افتادن، یک روش برگشت‌ناپذیر ثبت آنزیم است که در آن آنزیم‌ها در نگهدارنده یا درون الیاف، ساختار شبکه‌ای مواد یا در غشای پلیمری به دام بیفتد [۲۵، ۵۱] که اجازه می‌دهد سوبسترا و فراورده‌ها از میان آن بگذرد اما آنزیم باقی بماند [۵۲]. آنزیم را می‌توان در ماتریس سبک‌دی مانند یک فیلم الکتروپلیمریزه شده

^(۱)Polydimethylsiloxane(PDMS)

در نگهدارنده با هسته دوستهای قوی در پروتئین واکنش نشان دهد. ماتریس اختیابی برای چنین تعامل‌هایی به طور معمول شامل آگارز، سلولز، پلی (وبنیل کلرید)، شیشه متخلخل و رزین‌های تبادل یونی می‌باشد. غشاء و فرایندهای غشایی که در حال حاضر از بیش فعال شده نیز استفاده می‌شود. ثبت کووالانسی می‌تواند به طور مستقیم بر سطح مبدل و یا بر روی یک غشاء نازک ثابت شده بر روی مبدل انجام شود. این روش نیز باعث افزایش نیمه عمر و پایداری گرمایی آنزیم را زمانی که با نگهدارنده‌های گوناگون مانند مزوپروس سیلیکا، کیتوسان و ... همراه می‌شود. پایداری ناشی از اتصال کووالانسی نامحدود بین آنزیم و سوبسترا به دلیل فقدان هر گونه مانع بین آن‌ها می‌باشد. استقرار آنزیم در سطح نگهدارنده به تمایل بیشتر آنزیم و روش اتصال بارگذاری آنزیم کمک می‌کند [۶۰].

اتصال عرضی

ایجاد اتصال عرضی یکی دیگر از روش‌های برگشت‌ناپذیر ثبت آنزیم است که نیازی به نگهدارنده برای جلوگیری از ریزش آنزیم به محلول سوبسترا ندارد [۴۵]. این روش ثبت بدون حامل نیز نامیده می‌شود که در آن آنزیم به عنوان حامل خود عمل کرده و به تقریب آنزیم خالص به دست می‌آید که برتری‌ها و عیبهای مرتبط با حامل‌ها را از بین می‌پرد [۲۸]. اتصال عرضی با تشکیل پیوند بین مولکولی مابین مولکول‌های آنزیم با استفاده از معرفهای دو یا چند عاملی انجام می‌شود. در اتصال عرضی بیشتر از معرف گلوتارآلدئید استفاده می‌شود به دلیل این‌که به صرفه بوده و به آسانی در مقدارهای زیاد به دست می‌آید [۲۸، ۴۳]. اتصال عرضی پروتئین با واکنش بین گروه‌های آمین آزاد رزیدوهای لیزین با الیگومر یا پلیمرهای گلوتارآلدئید ناشی از چگالش درون-مولکولی و بین‌مولکولی بر روی سطح مولکول آنزیم مجاور انجام می‌شود [۶۳]. اتصال عرضی تجمع‌های آنزیمی^(۱) برای اولین بار با تراکم آنزیم‌ها در رسوب، مانند استون، سولفات آمونیوم و اتانول به دنبال یک کراس لینکر ساخته می‌شود [۶۲] و واکنش‌های ثبت آنزیم می‌تواند در سه روش گوناگون از جمله با مخلوط کردن پری پلیمر با یک حساسگر (به عنوان نمونه بنزن اتیل اتر)، ذوب، مخلوط کردن با محلول آنزیم و ایجاد ژل با قرار گرفتن در برابر پرتو فرایندهای و یا انجام دادن آنزیم دارای مونومر در دانه‌های کوچک انجام شود [۶۵].

جذب تنها بیرون روزنه‌ها صورت می‌گیرد [۵۶]. ساده‌ترین و رایج‌ترین روش به دام انداختن آنزیم، انقاد پلیمرهای پلی‌آئینونی یا پلی‌کاتیونی با افزودن چند برابری ضد یون‌ها می‌باشد. استفاده از پلیمرهای آژینات، کاراگینان، کلاژن، پلی‌اکریل آمید، ژلاتین، لاستیک سیلیکون، پلی‌بورتان و پلی‌وبنیل الکل با گروه استریل پیریدیوم^(۲) به عنوان ماتریس امکان‌پذیر است [۵۷، ۴۶]. اما آژینات‌ها به دلیل ویژگی‌های ژلاتینی معتدل و غیرسمی بودن بیشتر استفاده می‌شود [۵۴]. با این حال، استفاده عملی از این روش به دلیل تمایل به تحمل محدودیت‌های انتقال توده‌ی سوبسترا یا آنالیت به جایگاه فعال آنزیم، به نسبت محدود شده است [۴۳]. عیبهای دیگر عبارتند از امکان نشت آنزیم [۲۸] زمانی که روزنه‌های ماتریس نگهدارنده بیش از حد بزرگ باشد، غیرفعال کردن در طول ثبت، ظرفیت بارگذاری کم و سایش مواد نگهدارنده در طول استفاده اتفاق می‌افتد. همچنین، نسبت اندازه ذره‌های ثبت شده به اندازه روزنه‌های مواد نگهدارنده یک عامل مهم برای قابلیت استفاده از پروب‌های آماده مطرح شده است [۴۳].

پیوند کووالانسی

پیوند کووالانسی یکی از پرکاربردترین روش‌های برگشت‌ناپذیر ثبت آنزیم است. گروه عاملی که معمولاً در اتصال آنزیم درگیر هستند از طریق زنجیره‌های جانبی لیزین (گروه ۴ آمینو)، آسپارتیک و گلوتامیک اسیدها (گروه کربوکسیلیک) [۴۶، ۵۸] گروه ایمیدازول و فنلی (که برای فعالیت کاتالیستی آنزیم ضروری نیست) و سیستئین (گروه تیول) متصل می‌شوند. فعالیت آنزیم متصل شده با پیوند کووالانسی به اندازه و شکل مواد حامل، ماهیت روش اتصال، ترکیب مواد حامل و شرایط ویژه آن در طول جفت‌شدن بستگی دارد [۵۹]. در اتصال‌های کووالانسی بین آنزیم و نگهدارنده برای اتصال آنزیم، یک عامل بسیار مهم است که ثبات آن را تعیین می‌کند. گزارش شده است که وقتی که اسیدهای آمینه مرکز فعال در اتصال با نگهدارنده درگیر نیستند، آنزیم بیشترین فعالیت را دارد.

جفت شدن با نگهدارنده بسته به گروه‌های فعال موجود در مولکولی که ثبت می‌شود به دو روش انجام می‌شود. گروه‌های عاملی واکنش‌پذیر را می‌توان به نگهدارنده بدون تغییرها یا ماتریکس نگهدارنده اصلاح شده با تولید گروه‌های فعال افزود. در هر دو مورد، انتظار می‌رود که گروه‌های الکترون‌دوست تولید شده

(۱) Styrylpypyridium

(۲) Cross-linked enzyme aggregates(CLEAs)

به حجم زیاد برای اصلاح این زیست‌حسگرها استفاده می‌شوند. نانوموادها در حسگری زیستی نقش‌های مهمی از جمله تثبیت مولکول‌های زیستی، افزایش انتقال الکترون و کاتالیز واکنش‌های آنزیمی در کنار سایر واکنش‌ها ایفا می‌کنند [۷۳، ۷۴]. برخی از نانومواد می‌توانند مولکول‌های زیستی را در سطح خود جذب کنند. نانومواد در حد چشمگیری زیست سازگار هستند و آنزیم را قادر می‌سازند تا فعالیت‌های خود را حفظ کند. افزون بر وجود برهmekنش‌های قوی الکترواستاتیک بین آنزیم‌ها و برخی نانومواد آن‌ها می‌توانند با پیوند کووالانسی به نانومواد متصل شوند [۷۴، ۷۵]. نانومواد منجر به افزایش انتقال الکترون بین آنزیم و مبدل نیز می‌شود. در واقع نانوذره‌ها به دلیل توانایی در توسعه انتقال الکترون بین الکترود و جایگاه فعال آنزیم با توجه به نسبت سطح به حجم بالا، فعالیت واکنش سطحی بالا و توانایی جذب قوی مورد توجه قرار گرفتند [۲۰]. در جدول ۳ خلاصه‌ای از برتری‌ها و عیوب‌های استفاده از نانومواد برای تثبیت آنزیم آورده شده است [۷۶].

نانوذره‌ها مبتنی بر گربن

کربن به دلیل فراوانی، ویژگی‌های یگانه و داشتن آلوتروپ‌های گوناگون برای اصلاح مبدل‌ها در حسگرها به کار برد می‌شوند. نانومواد مبتنی بر نانوساختارهای کربن مانند نانولوله‌های کربن و گرافن مواد امیدوارکننده برای چنین کاربردی هستند.

گرافن

گرافن ساده‌ترین شکل کربن و یکی از جدیدترین نانومواد موجود در زیست‌حسگرها است که از یک ورقه ضخیم تک اتمی دو بعدی مشکل از کربن خالص با اتم‌های قرار گرفته در یک الگوی شش ضلعی تکراری شبیه به گرافیت تشکیل شده است. همانند گرافیت، اتم‌های کربن دارای هیبریداسیون sp^2 در یک شبکه بلوری شش ضلعی بسته بندی شده است که متراکم هستند [۷۸، ۷۷]. به دلیل شباهت ساختار اولیه گرافن به گرافیت و نانولوله کربن، دارای ویژگی‌های فیزیکی همانند هستند. گرافن زیست سازگار بوده و توانایی انتقال سریع الکترون، هدایت گرمایی بالا و قدرت مکانیکی بالا دارد [۷۹]. افزون بر این، گرافن یک ماده نیمه‌هادی صفر شکاف است که شفاف، بسیار الاستیک، کم هزینه و سازگار با محیط زیست می‌باشد [۸۰]. در طول چند سال گذشته گرافن در حسگرها شیمیابی و زیستی از جمله زیست‌حسگرها آنزیمی

اخیراً نگهدارنده‌های نانو دیامتریک یک تغییر اساسی در زمینه‌ی تثبیت کاتالیست زیستی به ارungan آورده است [۶۷، ۶۶، ۴۲، ۳۹]. اتصال عرضی آنزیم به نانوفیبرهای الکترواسپون به دلیل افزایش سطح و تخلخل، فعالیت بهتری نشان داده است. لیزوزیم تثبیت شده در نانوفیبر الکترواسپون کیتوسان با اتصال عرضی توده‌های آنزیمی گزارش شده است که در کاربردهای آنتی باکتریایی مداوم مؤثر می‌باشد [۶۸].

این روش به دلیل سادگی و اتصال شیمیابی قوی بین مولکول‌های زیستی جالب است. اشکال عمده، احتمال از دست دادن فعالیت به دلیل پیچیدگی کونفورماسیون فعال آنزیم و تغییرهای شیمیابی در جایگاه فعال در طول ایجاد اتصال عرضی است. چند زیست‌حسگر رسانایی‌سنگی بر اساس تثبیت آنزیم در ژل بدست آمده بهوسیله شبکه بنده با گلوتارآلدئید در حضور آلبومین سرم گاوی^(۱) برای تشخیص مولکول‌های گوناگون مانند فلزهای سنگین [۶۹، ۷۰، نیتریت [۷۱] و آلاینددها [۷۱] گزارش شده است. به عنوان نمونه یک زیست‌حسگر برای تعیین یون فلزهای سنگین توسط اتصال عرضی آلکالن فسفاتاز با آلبومین سرم گاوی در بخار اشباع گلوتارآلدئید در سطح الکترود توسعه داده شده است [۶۹].

میل ترکیبی

تلاش به منظور توسعه حسگرها زیستی مبتنی بر جهت و جایگاه‌های خاص انجام شده است. یک راهبرد ایجاد پیوندهای تمایلی (زیستی) بین نگهدارنده فعال (به عنوان نمونه با لکتین، آویدین، املاح فلزی) و گروه خاصی از توالی پروتئین (به عنوان نمونه، رزیدو کربوهیدرات، بیوتین، هیستیدین) است. در این روش جهت یابی بیومولکول به منظور جلوگیری از غیرفعال کردن آنزیم و یا مسدود کردن جایگاه فعال آنزیم کنترل می‌شود. روش تمایل برای تثبیت آنزیم از طریق تعامل آویدین- بیوتین، لکتین- کربوهیدرات و کاتیون فلزی - شلاته کننده انجام می‌شود. یک آنزیم می‌تواند دارای میل ترکیبی لیل در توالی آن باشد اما در برخی موارد دارای میل ترکیبی لیل (به عنوان نمونه بیوتین) به اتصال به توالی پروتئین بهوسیله روش‌های مهندسی ژنتیک مثلاً موتاژنر هدایت شده به جایگاه ویژه، فناوری اتصال پروتئین و اصلاح پس از رونویسی نیاز دارد [۷۲].

استفاده از نانوذره‌ها برای تثبیت آنزیم
نانوذره‌ها به دلیل ویژگی‌های کاتالیستی و نسبت سطح

(۱) Bovine serum albumin (BSA)

جدول ۳- برتری ها و عیوب های استفاده از نانوذره ها جهت تثبیت آنژیم.

عيوبها	برتریها
جدا سازی محیط واکنش هزینه فرآیند تولید کاربرد در مقیاس بزرگ	مقاومت انتقال جرم مساحت سطح بالا مقاومت مکانیکی بالا کمینه کردن مشکلات انتشار بارگذاری مؤثر آنژیم

الکترون بین الکترود و گلوکز اکسیداز به دست آمد. زیست حسگر گلوکز عملکرد آنالیتیکی رضایت بخش با حساسیت بالا و حد تشخیص پایین (۴/۸ میکرومولا) نشان داد.

لیو^(۲) و همکاران [۸۹] یک زیست حسگر گلوکز با اتصال کوالانسی گلوکز اکسیداز به صفحه های گرافن اکسید تهیه کردند. اتصال کوالانسی بین گروه های کربوکسیل اسید در صفحه های گرافن اکسید و آمین های آنژیم در حضور ۱-اتیل-۳- (۳- دی متیل آمینو پروفی) کربن دی ایمید هیدروکلرید و ان - هیدروکسی سوکسین ایمید ایجاد شد. عملکرد الکتروشیمیایی زیست حسگر با استفاده از آمپرومتری در ۷/۰۴ در مقابل نقره / نقره کلرید مورد بررسی قرار گرفت. زیست حسگر دارای بازه های خطی منحنی کالیبراسیون تعیین شده) می باشد. الکترود آنژیمی تهیه شده ثبات ذخیره سازی و تجدید پذیری خوبی دارد.

شان^(۳) و همکاران [۹۰] زیست حسگرهای الکتروشیمیایی گلوکز با گرافن محافظت شده پلی وینیل پیرولیدون / مایع یونی عامل دار شده با پلی اتیلن ایمین / گلوکزاکسیداز تهیه کردند. کربوکسیل های مایع یونی با پیوند کوالانسی به پلی اتیلن ایمین متصل شد. فیلم ها پایداری خوب، انحلال پذیری گسترده، زیست سازگاری و رسانایی بالا نشان دادند که منجر به افزایش پاسخ الکتروشیمیایی می شود. انتقال مستقیم الکترون از گلوکزاکسیداز دیده شد حسگرها پایدار بودند. بازه های خطی گلوکز ۱۴ میلی مولار به دست آمد.

در مطالعه دیگر نیز فیلم نانو کامپوزیت زیستی شامل گلوکز اکسیداز / پلاتین / ورقه گرافن عامل دار / کیتوسان^(۴) برای شناسایی گلوکز به کار برده شد. با همکاری الکترو کاتالیستی نانوذرهای پلاتین و ورقه های گرافن عامل دار شده برای هیدروژن پراکسید

به کار برده شده است [۸۱، ۷۹]. تفاوت ساختاری بین نانوورقه ها و نانولله های کربن می تواند برای طراحی و ساخت زیست حسگرهای جدید مورد استفاده قرار گیرد. گرافن نسبت به نانولله های کربن کاربرد بیشتری برای تثبیت پروتئین ها دارد. گرافن به دلیل داشتن فعالیت کاتالیتیکی بالا با هیدروژن پراکسید و کارابی مستقیم در الکتروشیمی با گلوکز اکسیداز، یک ماده انتقال دهنده بسیار خوب برای زیست حسگرهای آنژیمی است [۸۱]. انتقال الکترون بین گرافن و اکسایش - احیای گونه فعال در لبه های ورق گرافن و یا به دلیل نقص در صفحه اساسی رخ می دهد [۸۰]. بنابراین، مساحت سطح بالای گرافن تعداد زیادی جایگاه الکتروواکتیو فراهم می کند. نانو صفحه های خلیل نازک چندلا یه نیز به عنوان مبدل ها در زیست حسگر های گلوکز استفاده می شوند. گرافن را می توان با روش های گوناگون از جمله لایه برداری مکانیکی [۸۲] رسوب دهی شیمیایی بخار [۸۳] و روش هومر [۸۴، ۸۵] سنتر کرد. گرافن اکسید با روش پوسته پوسته کردن به دست آمده و می تواند با روش های شیمیایی یا الکتروشیمیایی کاهش یابد [۸۶، ۸۷].

یانین یو^(۱) و همکاران [۸۸] از نانو کامپوزیت های نانولله کربن چند دیواره و گرافن عامل دار شده با نانوذرهای طلای پوشیده شده با پلی دی متیل دی آلیل آمونیوم کلرید استفاده کردند. بر اساس جذب الکترواستاتیک، مواد ترکیبی نانولله های کربنی چند دیواره / گرافن را می توان با نانوذرهای طلا به طور یکنواخت و پر تراکم پوشش داد. چگونگی تهیه نانو کامپوزیت در شکل ۲ نشان داده شده است. نانو ساختار جدید می تواند یک سطح بزرگتر و میکرورمحیط مناسب برای انتقال الکترون فراهم کند. نانو کامپوزیت نانولله های کربنی چند دیواره / گرافن / نانوذرهای طلا به عنوان یک بستر جدید برای تثبیت گلوکز اکسیداز استفاده می شود. انتقال مستقیم

(۱) Yanyan Yu

(۲) Liu

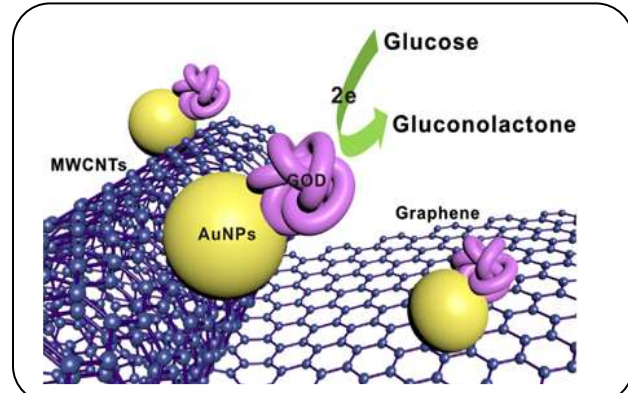
(۳) Shan

(۴) GOD/Pt/FGS/chitosan

حفظ شد. جذب آنزیم یک وسیله جدید برای تشخیص گلوکز تولید می‌کند [۹۴]. با روش همانند، میزان گلوتامات خارج سلولی در مغز به‌وسیله تهیه نانولوله‌های کربن با تثبیت ال - گلوتامات اکسیداز تعیین شد [۹۵].

زیست‌حسگر آمپرومتریک اسید اوریک مبتنی بر نانولوله‌های کربن چند دیواره عامل‌دار شده با نانوذره‌های قلع اکسید توضیح داده شده است. در این مطالعه نانولوله‌های کربن چند دیواره تیمار شده با نیتریک اسید در محلول کلرید قلع (II) غوطه ور شده و در دمای اتاق سونیکه و هم زده شد. این نمونه سانتریفیوژ شده، با آب شسته و فیلتر شد و نانوذره‌های اکسید قلع - نانولوله‌های کربن چند دیواره در آب مقطر پراکنده شد. نانولوله‌های کربن چند دیواره عامل‌دار شده با کربوکسیلیک اسید با گرمای دادن در جریان با نیتروکسیل و دیسپرس در آب مقطر ساخته شده است. این محلول دیسپرس شده بر روی سطح الکترودهای کربن شیشه‌ای چکیده شد و آب تبخیر شد. برای ساخت زیست‌حسگر اوریکاز روی الکترود کربن شیشه‌ای اصلاح شده با نانوذره‌های اکسید قلع - نانولوله‌های کربن چند دیواره یا نانولوله‌های کربن چند دیواره عامل‌دار شده با کربوکسیلیک اسید به‌وسیله پوشش قطره‌ای تثبیت شد. زیست‌حسگر مبتنی بر نانوذره‌های اکسید قلع - نانولوله‌های کربن چند دیواره اکسایش الکتروکاتالیستی اوریک اسید بیشتری نسبت به زیست‌حسگر عامل‌دار شده با نانولوله‌های کربن چند دیواره عامل‌دار شده با کربوکسیلیک اسید نشان داد. ترکیب‌های مداخله‌گر مشترک مانند آسکوربیک اسید و گلوکز هیچ تأثیری بر پاسخ زیست‌حسگر به غلظت اوریک اسید نداشت. زیست‌حسگر برای تعیین اسید اوریک در نمونه‌های دیالیزیت استریاتوم موش استفاده شد [۹۶].

شجاع^(۵) و همکاران [۹۷] با استفاده از زیست‌حسگر آنزیمی ساخته شده از دی - آمینواسید اکسیداز تثبیت شده با روش سل - ژل بر سطح الکترود کربن شیشه‌ای اصلاح شده با نانوکامپوزیتی از نانوفیلم طلا و نانولوله‌های کربن چند دیواره‌ای مقدار دی - آلانین را تعیین کردند. نانوکامپوزیت نانوفیلم طلا و نانولوله‌های کربن چند دیواره‌ای با اجرای روش پتانسیواستاتیک برای الکترود پوزیشن نانوفیلم طلا بر روی نانولوله‌های کربن چند دیواره‌ای تثبیت شده در سطح الکترود کربن شیشه‌ای ساخته شد. الکترود اصلاح شده



شکل ۲- نانوکامپوزیت نانولوله‌های کربنی چند دیواره / گرافن / نانوذره‌های طلا به عنوان یک بستر جدید برای تثبیت گلوکز اکسیداز (۸۸).

یک زیست‌حسگر حساس با حد تشخیص ۶۰ میکرومولار به دست آمد. زیست‌حسگر دارای بازده چشمگیر، ثبات طولانی مدت است و سیگنال‌های ناچیزی از تداخل اوریک اسید و آسکوربیک اسید نسبت به پاسخ گلوکز مشاهده شد. مساحت سطحی بزرگ و هدایت الکتریکی خوب گرافن نشان می‌دهد که گرافن یک ماده مناسب برای حسگرها می‌باشد [۹۱].

نانولوله‌های کربن

نانولوله‌های کربنی^(۱) یک ورقه گرافن به شکل یک سیلندر هستند که توسط ساختارهای فولرین مانند تشکیل شده‌اند که با چرخیدن یک لایه گرافیت یا گرافن در امتداد جهت مشخص در میان سیلندر کوچک به وجود می‌آیند. نانولوله‌های کربنی توسعه ایچیما^(۲) در سال ۱۹۹۱ میلادی کشف شده و گزارش شده است. که قطر قطعه‌ها تا ۱۰ نانومتر و طول آن‌ها تا چند میکرومتر است [۹۲]. نانولوله‌های کربن تک دیواره^(۳)، نانولوله‌های کربن دودیواره و نانولوله‌های کربن چند دیواره^(۴) به دلیل ویژگی‌های مکانیکی، گرمایی، الکتریکی و فیزیکی یگانه و سطح بسیار بزرگ در بیوسنیگ جایگاه ویژه‌ای دارند [۸۷-۸۶]. مطالعه‌های گوناگون تعامل نانولوله‌های کربنی با مولکول‌های زیستی مانند DNA پیتیدها و پروتئین‌ها را نشان می‌دهد. آن‌ها یک ابزار در تثبیت آنزیم هستند که در شرایط سخت پایدار بوده و منجر به بارگذاری بیش‌تر آنزیم با افزایش فعالیت کاتالیستی می‌شوند [۹۳]. گلوکز اکسیداز به نانولوله‌های کربن متصل شد و فعالیت آنزیمی آن

(۱) Carbone Nanotubes(CNTs)

(۲) Iijima

(۳) Single Wall Carbone Nanotubes(SWCNTs)

(۴) Multi Wall Carbone Nanotubes(MWCNTs)

(۵) Shoja

نافوذهای فلزی

نافوذهای طلا

طلا کلریدی یکی از مهمترین نانومواد موجود برای زیستحسگرها است^(۱). آن از واحدهای هشت ضلعی کوچک به نام واحدهای اولیه تولید می‌شود. اندازه و ریخت شناسی نافوذهای به دست آمده بستگی به روش سنتز آن‌ها دارد. نافوذهای طلا به طور معمول در یک محلول آبی ذخیره می‌شوند. نافوذهای فلزی توانایی در افزایش مقدار مولکول‌های زیستی ثبت شده در حسگر و افزایش انتقال الکترون بین آنالیتها و مبدل‌ها، برای اصلاح الکتروودها به کار برده می‌شوند^{[۱]، [۲۵]}. نافوذهای طلا به عنوان سطوح زیست سازگار بسیار خوب برای ثبت آنژیم‌ها و پروتئین‌ها استفاده می‌شود. از آنجایی که تعامل بین گروههای آمینو و سیتین پروتئین با نافوذهای طلا قوی است به طور معمول از گروههای تیولی استفاده می‌شود. بنابراین، اسیدهای آمینه و پروتئین‌ها ممکن است به طور مستقیم بر روی نافوذهای طلا بدون هیچ گونه تغییری ثبت شوند^{[۲]، [۱۰۱]}. نافوذهای طلا می‌توانند به راحتی و به طور مناسب با مولکول‌های تیوله و گروه‌های کربوکسیلیک عامل‌دار شده که به نوبه خود با گروههای آمینو پروتئین جفت می‌شوند^[۳]. آنژیم ثبت شده بر روی میکروسفورهای پلی‌اورتان نافوذهای طلا، افزایش ذخیره سازی و پایداری گرمایی نشان دادند^[۱۰۴].

فادتر^(۴) و همکاران^[۱۰۵] تجمع نافوذهای طلا بر روی سطح میکروسفرهای زئولیت عامل‌دار شده با آمین برای تشکیل ساختارهای هسته - پوسته نافوذهای زئولیت - طلا و استفاده از آن برای ثبت پروتئاز قارچی را بررسی کردند. تجمع نافوذهای طلا بر روی سطح زئولیت از طریق گروههای آمین موجود در ۳-آمینوپروپیل تری متوكسی سیلان انجام می‌شود. پروتئازهای قارچی متصل به ساختارهای هسته - پوسته بزرگ به آسانی از واکنش میانی با ساتریفیوژ آرام جدا شده و دوباره قابل استفاده بودند. فعالیت کاتالیتیکی زیستی پروتئاز قارچی در تجمع زیستی حاشیه‌ای در مقایسه با آنژیم آزاد موجود در محلول افزایش یافته است. همچنین افزایش pH و پایداری دما و تغییر دمای بهینه را نشان داده است.

با استفاده از میکروسکوپ الکترونی روبشی^(۱)، طیف سنجی پراش انرژی پرتو ایکس^(۲)، ولتاوری روبش خطی و ولتاوری چرخه ای بررسی شد. ولتاوری روبش خطی برای تعیین دی - الائین استفاده شد که ارتباط خطی بسیار خوب بین پاسخ زیست‌حسگر و غلظت دی - الائین از $۰/۰۲۵$ تا $۰/۰۴۵$ میکرومولار با ضریب تصحیح $۰/۹۹۹$ ($n=20$) نشان داد. حد تشخیص حسگر ساخته شده حدود ۲۰ نانومولار و حساسیت حدود $۵۶/۱ \text{ A} \mu \text{M cm}^3$ محاسبه شده است. زیست‌حسگر طراحی شده پاسخ جریان سریع به دی - الائین، پایداری خوب (۴ هفته) و متوسط بازیابی % ۹۸/۹ در نمونه‌های سرم انسانی نشان دادند. مراحل ساخت این زیست‌حسگر در شکل ۳ ارایه شده است.

وانگ^(۳) و همکاران^[۹۴] یک زیست‌حسگر شامل الکتروودهای طلا - نانولولهای کربن چند دیواره - گلوکز اکسیداز^(۴) طراحی کردند نانولوله کربن چند دیواره بهوسیله رسوب نشانی شیمیایی بخار با بهره‌گیری از میکروویو پلاسمای تهیه شد. آنژیم گلوکزاکسیداز با استفاده از نانولولهای کربن چند دیواره ثبت شد. عملکرد و ویژگی‌های زیست‌حسگر گلوکز ساخته شده با توجه به زمان پاسخ، حد تشخیص، pH و ثبات ذخیره‌سازی مورد ارزیابی قرار گرفت. حساسیت و پایداری حسگر ساخته شده در تشخیص گلوکز، نشان می‌دهد که نانولولهای کربن چند دیواره یک ماده مناسب برای ثبت آنژیم در ساخت زیست‌حسگرهای گلوکز است.

رووال^(۵) و همکاران^[۹۸] زیست‌حسگر اوریک اسید بر اساس ثبت اوریکاز در نافوذهای آبی پروس، نانولولهای کربن چند دیواره کربوکسیله، پلی آنیلین و کامپوزیت طلا ساختند. آنیلین با ولتاوری چرخه ای بر روی الکتروود طلا کتریکی میریزه شد. برای به دست آوردن الکتروود نانولولهای کربن چند دیواره کربوکسیله/پلی آنیلین/طلا، الکتروود اصلاح شده با پلی آنیلین در درون محلول نانولولهای کربن چند دیواره کربوکسیله غوطه ور شد. نافوذهای آبی پروس بر روی الکتروود نانولولهای کربن چند دیواره کربوکسیله/پلی آنیلین/طلا رسوب دهی الکتریکی شد. اوریکاز توسط اتصال عرضی با کیتوسان و گلوتارآلدئید ثبت شد. مرحله‌های ثبت آنژیم بر روی سطح الکتروود اصلاح شده در شکل ۴ به نمایش گذاشته شده است.

(۱) Scanning Electron Microscope(SEM)

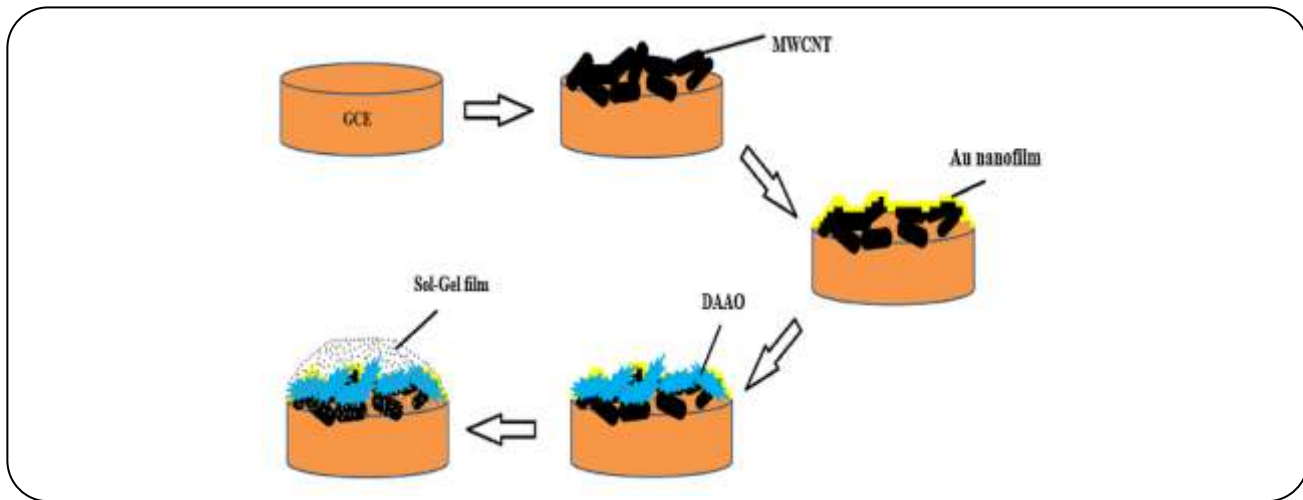
(۲) X-ray energy diffraction(EDX)

(۳) Wang

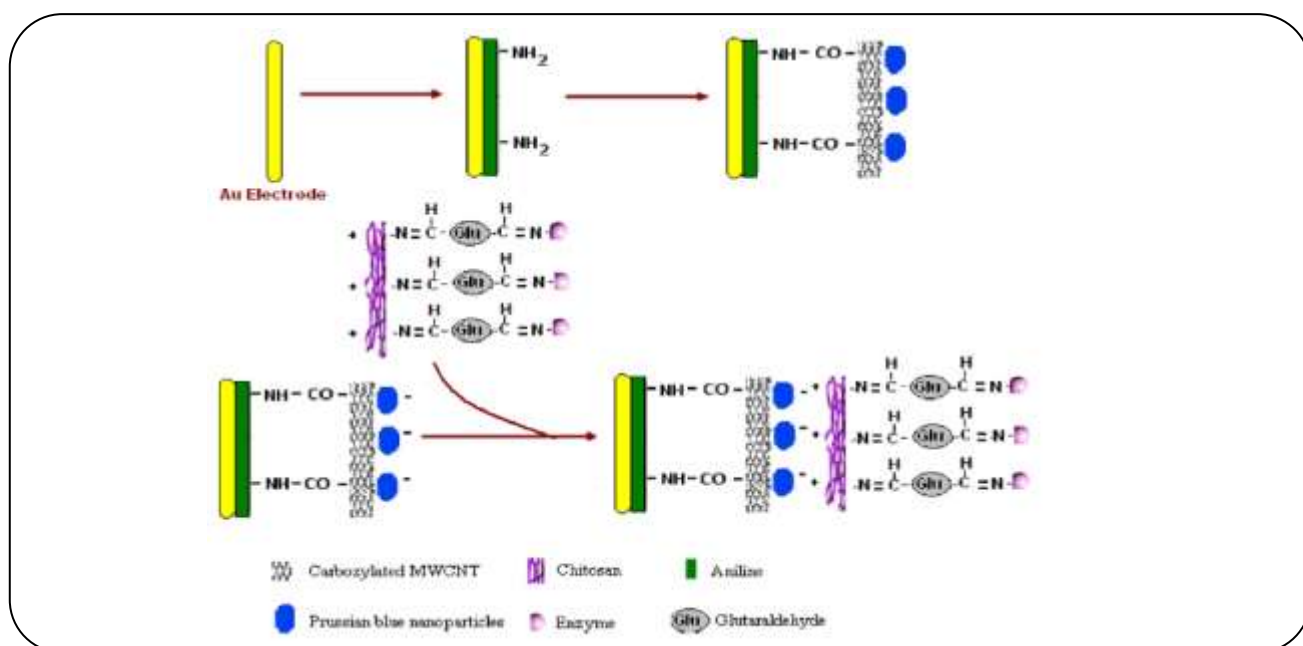
(۴) Au/MWNTs-GOD

(۵) Rawal

(۶) Phadtare



شکل ۳- زیستحسگر آنزیمی ساخته شده از دی- آمینو اسید اکسیداز تثبیت شده بر روی سطح الکترود کربن شیشه ای اصلاح شده با نانو کامپوزیتی از نانوفیلم طلا و نانولوله های کربن چند دیواره ای برای تعیین مقدار دی- الانین [۹۷].



شکل ۴- زیستحسگر اوریک اسید بر اساس تثبیت اوریکاز در نانوذره های آبی پروس، نانولوله های کربن چند دیواره کربوکسیله، پلی آنیلین و کامپوزیت طلا [۹۸].

کربن شیشه ای اصلاح شده با نانوذره های طلا و تیروزیناز در داخل یک فیلم دی هگزا دسیل فسفات برای تشخیص کاتکول در آب طبیعی پیشنهاد کردند. با استفاده از زیستحسگر طراحی شده، کاتکول در بازه هی غلظت خطی از 10^{-6} mol/L تا 10^{-5} mol/L با حد تشخیص $10^{-5} \times 10^{-4}$ mol/L تعیین شد [۱۰۶].

تشخیص برخی از ترکیب های فلئی از طریق نانوذره های طلا به عنوان عامل مؤثر در بیوسنسینک گزارش شده است. به دلیل سمتی و خطرهای بالقوه بر سلامت انسان تشخیص این ترکیب ها بسیار اهمیت دارد. زیستحسگرهای الکتروشیمیایی مبتنی بر آنزیم نیز در تشخیص ترکیب های فلئی استفاده می شوند. ویستینینی^(۱) و همکاران، یک زیستحسگر با استفاده از الکترود

(۱) Vicentini

مشخص بزرگ، آماده سازی آسان و قطر کوچک دانه ها مورد توجه قرار گرفتند. افزون بر این نانومواد نقره بالاترین هدایت گرمایی و الکتریکی را نشان می دهد و به طور گسترده در الکترونیک، فوتونیک و تولید حسگرهای مورد استفاده قرار می گیرند [۱۰۹].

کرسپیلهو^(۱) و همکاران [۱۱۰] رویکرد عالی برای ساخت زیست حسگر های آنژیمی نشان دادند. آنها اوره آز را در غشا های نانوساختار الکترواکتیو ساخته شده از پلی آلانین و نانوذره های نقره ثابت شده در پلی وینیل الکل تثبیت کردند. این الکترود اصلاح شده از طریق رسوب شیمیایی پلی آلانین به وسیله پوشش قطره ای نانوذره های نقره - پلی وینیل الکل و اوره آز ساخته شده است. کارایی الکترود برای هیدرولیز اوره از طریق اندازه گیری های آمپرومتریک، افزایش سریع در جریان کانتدی پس از افرودن اوره به محلول الکترولیتیکی با یک پیک معین خوب نشان داد. یک الکترود اصلاح شده با آنژیم تثبیت شده باعث افزایش تبدیل اوره به آمونیاک و یون های بی کربنات شد. K_m^{app} نشان داد که ساختار الکترود به کار برده شده ممکن است برای ساخت ابزارهای آنژیمی با ویژگی های کاتالیستی بهبود یافته مفید باشد. این پتانسیل کاربردی اثرهای تداخل را زمانی که زیست حسگر در ماتریس واقعی و پیچیده مانند مواد زیستی، غذا و نوشیدنی ها استفاده می شود کمینه می کند. الکترود طراحی شده در شکل ۶ به نمایش گذاشته شده است.

زنگ^(۵) و همکاران [۱۱۱] یک زیست حسگر اوریک اسید می تنی بر اوریکاز تثبیت شده در نانومیله های اکسید روی طراحی کردند. سطح الکترود کربن شیشه ای با نانومیله های روی اکسید و نافیون اصلاح شد. اوریکاز بر روی فیلم اصلاح شده روی اکسید تثبیت شد. نانومیله روی اکسید مساحت سطح بزرگ ایجاد کرد و انتقال الکترونین بین سطح الکترود و آنژیم را افزایش داد. تداخل آسکوربیک اسید، گلوکز و ال - سیستئین گزارش نشد. کمترین حد تشخیص 10^{-6} مول بر لیتر بدست آمد.

زیست حسگر آمپرومتریک می تنی بر تیروزیناز برای تعیین بیسفنول آ در یک سامانه تزریق متوالی یک بخشی جریان دسته ای توسط کوچانا^(۶) و همکاران [۱۱۲] پیشنهاد شد. آنژیم در یک ماتریس تیتانیوم اکسید اصلاح شده با نانولوله های کربن چند دیواره،

چایوان^(۴) و پوندیر^(۲) [۱۰۷] یک زیست حسگر آمپرومتریک اسید اوریکاز با تثبیت اوریکاز بر روی نانوذره های طلا / نانولوله کربن چند دیواره ای ترسیب شده بر روی الکترود طلا ساختند. آنژیم با اتصال کربودی ایمید تثبیت شد. اوریک اسید براساس اکسایش هیدروژن پراکسید تولید شده در $7\text{ V}/4\text{ A}$ تعیین شد. گزارش شد که نانوذره های طلا پاسخ جریان را افزایش داده و فعالیت کاتالیستی خوبی نسبت به الکترواکسید اسیون هیدروژن پراکسید نشان داد. پاسخ جریان الکترودهای اصلاح شده با نانولوله کربن چند دیواره یا نانوذره های طلا / نانولوله کربن چند دیواره به دلیل افزایش سطح مؤثر الکترود نسبت به الکترود طلای اصلاح نشده بیشتر است. از زیست حسگر برای اندازه گیری میزان اوریک اسید در سرم افراد سالم و بیماران نقرس استفاده شد. هیچ تداخلی از ترکیب های الکترواکتیو مانند گلوکز، کلسترول، اوره، پیروات، یلی روین، مس سولفات، پتاسیم کلرید، فلاوین آدنین دی نوکلئوتید، سدیم کلرید، روی سولفات، نیکوتین آمدید آدنین دی نوکلئوتید، کلسیم کلرید، ریبو فلانین و منگنز کلرید گزارش نشده است. اما آسکوربیک اسید در غلظت فیزو لوژیکی آن تداخل داشت. چگونگی تهیه زیست حسگر در شکل ۵ ارایه شده است. کمترین حد تشخیص حسگر 10^{-1} M میلی مولار به دست آمد.

زیست حسگر نوین بر اساس تثبیت تیروزیناز با مزوپیروس کربن منظم - طلا، غشای ال - لیزین و نانوذره های طلا بر روی الکترود کربن شیشه ای توسط لین^(۳) و همکاران [۱۰۸] پیشنهاد شد و برای تعیین همزمان ایزومر های دی هیدروکسی بنزن با استفاده از ولتمتری پالسی تفاضلی به کار برده شد. الکترود اصلاح شده تیروزیناز / مزوپیروس کربن منظم - طلا / ال - لیزین / فیلم طلا با استفاده از میکروسکوپ الکترونی رویشی و طیف امپدانس شناسایی شد. زیست حسگر تیروزیناز، تکرار پذیری و پایداری خوبی نشان داد. افزون بر این مکانیسم واکنش آنژیم کاتالیست اکسایش - احیا بر روی الکترود اصلاح شده بر اساس مطالعه های الکتروشیمیایی مورد بحث قرار گرفت. کمترین حد تشخیص برای هیدروکوئینون و کاتکول به ترتیب 5×10^{-8} مولار و 2.5×10^{-8} مولار به دست آمد.

ساخر نانوذره های فلزی

نانومواد نقره به دلیل ویژگی های کوانتومی از جمله سطح

(۱) Chauan

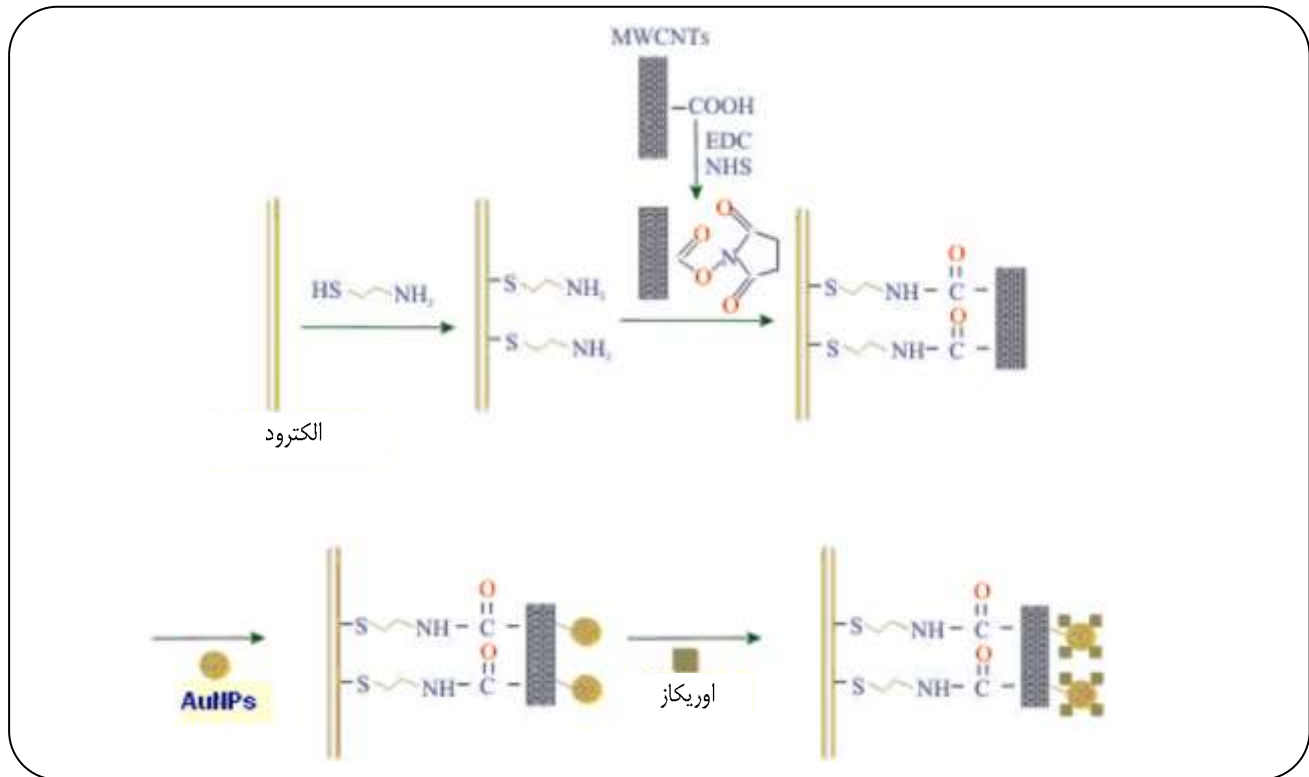
(۴) Crespilho

(۲) Pundir

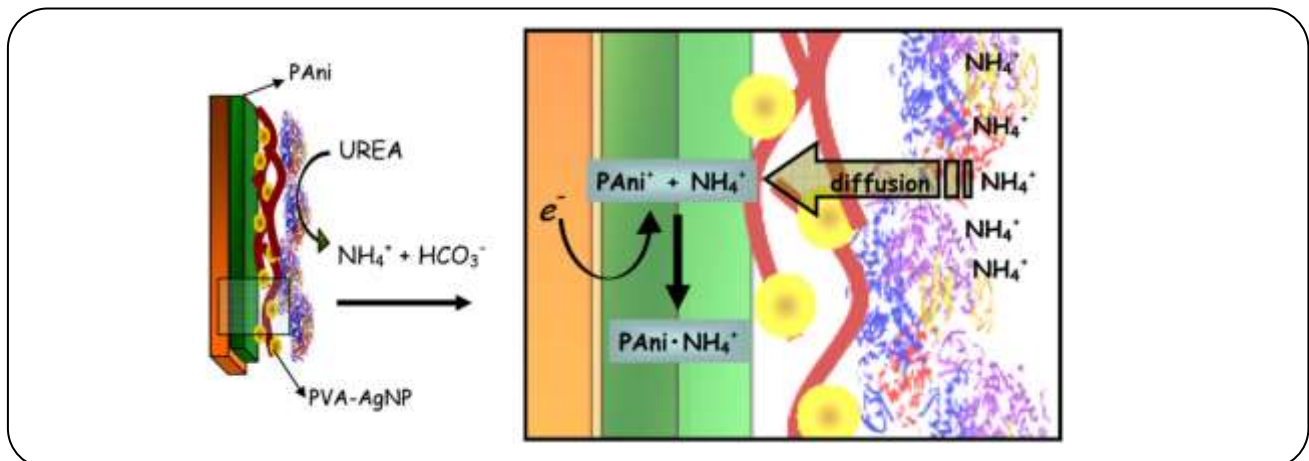
(۵) Zhang

(۳) Lin

(۶) Kochana



شکل ۵ - چگونگی تهیه زیستحسگر آمپرومتریک اسیداوریک با ثبیت اوریکاز بر روی نانوذره‌های طلا/نانولوله کربن چند دیواره‌ای ترسیب شده بر روی الکترود طلا [۱۰۷].



شکل ۶ - نمایش الکترود تهیه شده با نانوذره‌های نقره/پلی وینیل الکل / اوره‌آز / پلی آلانین. منطقه بزرگنمایی واکنش هیدرولیز اوره را نشان می‌دهد [۱۱۰].

توسعه یافته نسبت به بیسفنول آ مورد بررسی قرار گرفت و ویژگی‌های تحلیلی با توجه به بازه‌ی خطی، حساسیت زیستحسگر، حد تشخیص، ثبات طولانی مدت، تکرارپذیری و تجدیدپذیری مورد بررسی قرار گرفت. کمترین حد تشخیص ۶۴ μM و حساسیت ۳۲۶۳ μA/mMcm² بدست آمد.

پلیمر کاتیونی پلی دی آلیل دی متیل آمونیوم کلرید و نافیون جذب شد. ریخت شناسی کامپوزیت تیروزیناز/تیتانیوم اکسید/نانولوله‌های کربن چند دیواره/پلی دی آلیل دی متیل آمونیوم کلرید/ماتریکس نافیون با استفاده از میکروسکوپ الکترونی روبشی مطالعه شد. رفتار الکتروشیمیایی زیستحسگر

آنژیم - مزوپروس سیلیکا با بازده بالای بارگذاری و نرخ واکنش سریع، کنترل و بهینه‌سازی ویژگی‌هایی مانند اندازه روزنده‌های مزوپروس سیلیکا ، مساحت سطح موجود، pH محلول، نقطه ایزوکتریک، توزیع اندازه ذره‌ها، مقاومت و ویژگی‌های سطح مزوپروس سیلیکا و پروتئین‌های یونی مورد نیاز است. مزوپروس سیلیکا بر اساس نوع و ویژگی‌های ساختاری آنژیم انتخاب می‌شود. رویکرد کلی برای مطالعه سیستماتیک سامانه‌های آنژیمی مبتنی بر مزوپروس سیلیکا شرایط آزمایش و عملکرد مورد انتظار در شکل ۷ ارایه شده است [۷].

هکی^(۲) و همکاران [۱۱۹] نانوذره‌های پلاتین و گلوکز اکسیداز را بر روی مزوپروس سیلیکا عامل‌دار شده با گروه آمینو برای تهیه زیستحسگر گلوکز تشییت کردند. نانوذره‌های پلاتین - مزوپروس سیلیکا تهیه شده پایداری و واکنش‌پذیری بالا برای کاتالیز کاهش الکترونی هیدروژن پراکسید به طور عمده به علت وجود مقدار زیادی نانوذره‌های پلاتین تشییت شده نشان داد. زیستحسگر ساخته شده گلوکز می‌تواند مزایای چشمگیری مانند حساسیت بالا، قابلیت بازیابی و ثبات خوب، و همچنین توانایی پاسخ سریع ارایه دهد. زیستحسگر تولید شده برای اندازه‌گیری گلوکز در نمونه‌های سرم واقعی قابل استفاده است. چگونگی طراحی زیستحسگر در شکل ۸ ارایه شده است.

در مطالعه دیگر حسگر استیل کولین با تشییت آنژیم‌های استیل کولین استراز و کولین اکسیداز در درون غشاء مزوپروس سیلیکای هیریید جدگانه با قطر روزنده‌های ۱۲ نانومتر برای تشخیص استیل کولین تعیین شد. اندازه گیری براساس تشخیص پراکسید هیدروژن تولید شده توسط دو واکنش آنژیمی متوالی انجام شد. بازه‌ی تعیین و زمان پاسخ به ترتیب ۸۰۰-۶۰۰ میکرومولار و حدود ۳ دقیقه است. حسگر نسبت به آنژیم‌های آزاد بسیار پایدار است و ۸۰٪ از فعالیت آن پس از ذخیره‌سازی به مدت ۸۰ روز حفظ می‌شود. این نتیجه‌ها نشان می‌دهد که آنژیم با موفقیت تشییت شده و پایداری خوبی دارد و در همان حال، دو واکنش آنژیمی متوالی در درون غشهای مزوپروس هیریید جدگانه به خوبی عمل می‌کنند. افزون بر این، تشخیص احتمالی آفتکش‌های ارگانوفسفره از نظر مهار فعالیت استیل کولین استراز، مانند کاهش پاسخ جریان نیز بررسی شد و نشان داد که غلظت نانومولار آفتکش را می‌توان با این حسگر شناسایی کرد [۱۲۰].

ماریانا^(۱) و همکاران [۱۱۳] زیستحسگر آمپرومتریک لاکاز برای تشخیص ترکیب‌های کاتکول طراحی کردند. آنژیم لاکاز بر روی نانوساختارهای تیتانیوم اکسید و تیتانیوم اکسید/نافیون تثبیت شد (هر دو با روش سل-تل تثبیت شد) و یک نانوساختار سوم که شامل یک زیستحسگر از کامپوزیت نافیون و آنژیم لاکاز به نام نافیون/لاکاز است. نافیون بر روی یک الکترود گرافیت قرار داده شد و برای جلوگیری از کراکینگ بر روی ماتریکس مورد استفاده قرار گرفت. اندازه ذره‌های تیتانیوم اکسید به طور متوسط ۶۶ نانومتر بود. حالت‌های ارتعاشی طیف سنجی تبدیل فوریه فوسرخ کامپوزیت‌های گوناگون مشخص شد. رفتار الکتروشیمیابی زیستحسگر با استفاده از اسپکتروسکوپی الکتروشیمیابی و ولتاوی چرخه ای مورد بررسی قرار گرفت. زیستحسگر مبتنی بر نام تیتانیوم اکسید/نافیون/لاکاز با توجه به حساسیت، پایداری و حد تشخیص پس از ۲۲ روز، بهترین ویژگی‌های الکتروشیمیابی را ارایه کرد.

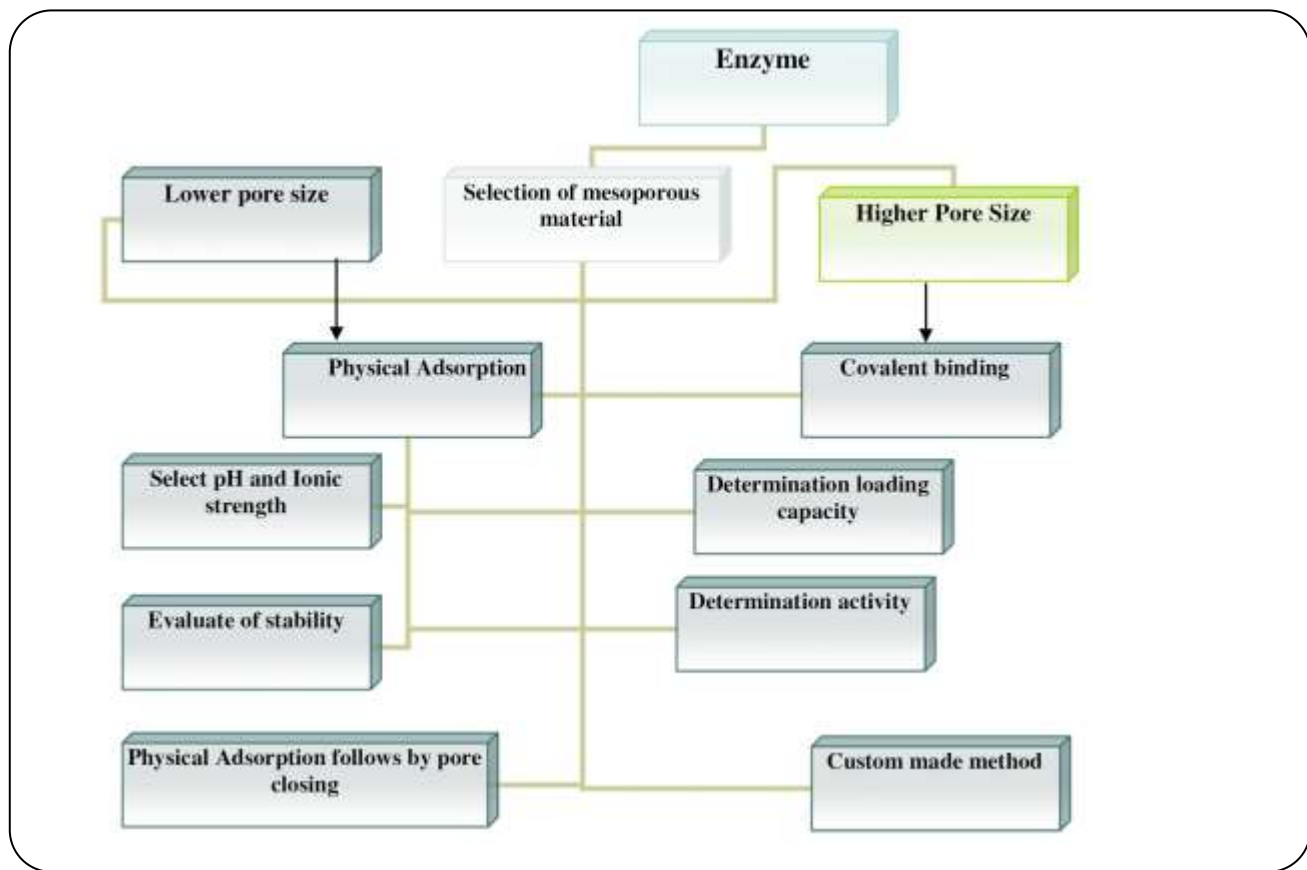
نانوذره‌های سیلیکا

سیلیکا یا سیلیکون دی‌اکسید فرم اکسید سیلیکون است که به عنوان یک عامل نگهدارنده و رقیق‌کننده در صنایع غذایی به کار برده می‌شود [۱۱۴]. نانوساختارهای سیلیکا در زمینه بیومدیکال به دلیل ویژگی‌های خوب شیمیابی که اصلاح ساختار آن را به سیله گروههای آمین، کربوکسیل و تیول، متاکریلات‌ها، آنژیم، پروتئین و DNA امکان‌پذیر می‌کند بسیار مورد توجه قرار گرفته است [۱۱۵]. مواد پروس سیلیکا به طور گسترده برای تثبیت آنژیم به عنوان کاتالیستی زیستی یا زیستحسگر استفاده می‌شوند. این مواد به دلیل داشتن ساختارهای متخلخل منظم، مساحت سطحی بزرگ، پایداری بالا و توانایی کار با طیف گسترده‌ای از لیگاندهای آلی یا ترکیب فلزهای بسیار اهمیت دارند [۱۱۶]. اندازه روزنده‌ها در مزوپروس سیلیکا بین ۲ تا ۵۰ نانومتر است و به دلیل داشتن منافذ با اندازه‌های متفاوت شرایط خوبی را برای تثبیت آنژیم فراهم می‌کند [۱۱۷، ۱۱۸، ۱۱۹]. معمولاً دارای روزنده‌های ۲ تا ۱۵ نانومتر و هندسه شش ضلعی یا مکعبی است [۱۱۸]. برطبق گفته مکنر^(۳) مزوپروس سیلیکا بسیاری از برتری‌های نگهدارنده‌ها برای تثبیت آنژیم را ارایه می‌دهد با این وجود هنوز به راکتورهای صنعتی منتقل نشده است. به دست آوردن مجموعه فعال و پایدار

(۱) Mariana

(۲) Magner

(۳) He Li



شکل ۷ - نمودار روند سیستمی برای انتخاب مواد مزوپروس بر پایه‌ی سیلیکا با استفاده از روش ثبت مبتنی بر اندازه روزنه‌ها است [۷].

نانوذره‌های پلیمری

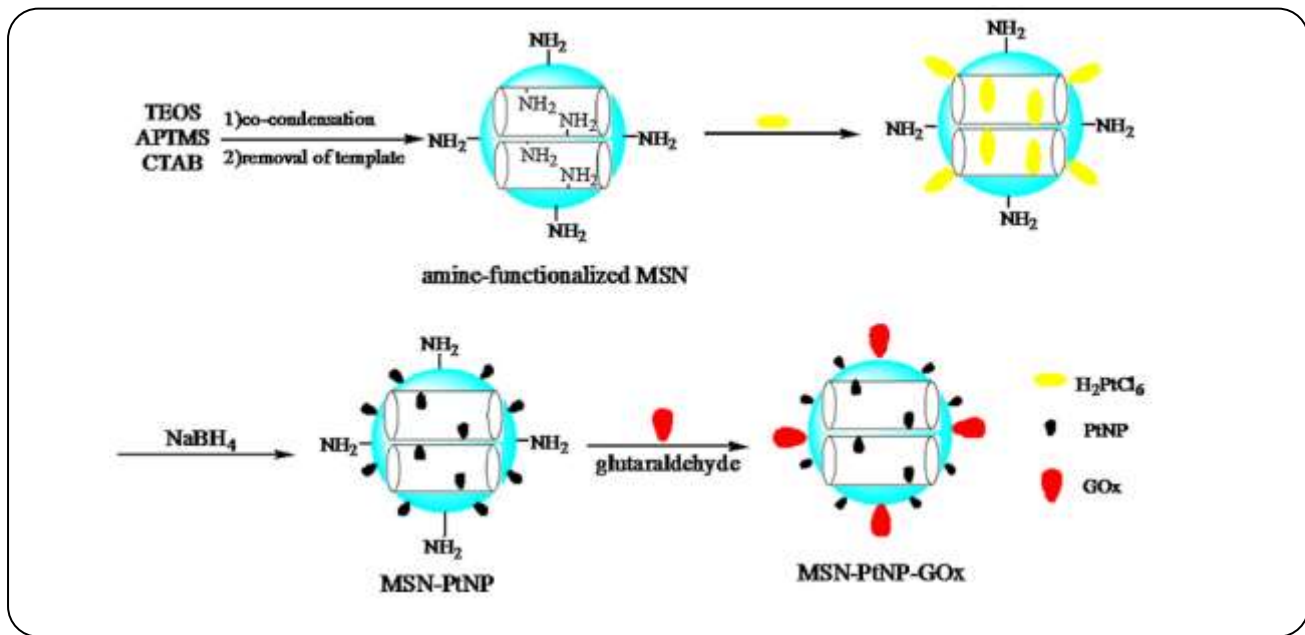
پلیمرها می‌توانند به عنوان نگهدارنده برای ثبت آنزیم استفاده شوند. پلیمرها به دلیل ویژگی‌های فیزیکی و شیمیایی گسترده برای توسعه حسگرها مورد استفاده قرار می‌گیرند [۱]. از برتری‌های دیگر استفاده از پلیمرها انعطاف‌پذیری، زیستسازگاری و کم هزینه بودن آن‌ها است. آن‌ها می‌توانند به عنوان یک فیلم مستقل برای ساخت زیستحسگرها استفاده شوند [۲۲]. پلیمرهای طبیعی مانند پکتین‌ها، آژینات‌ها، کاراگینان‌ها و ... یک محیط مساعد برای تعامل با پروتئین‌ها ایجاد کرده و از آن‌ها در محیط نامناسب محافظت می‌کند. پلیاسترهای زیست‌تخربی پذیر مانند پلی‌لاکتیک‌اسیدها، پلی‌لاکتیک‌کوگلیکولیک‌اسید، پلی‌ال‌لاکتید و مخلوط آن‌ها، استر آنیدرید، پلی‌آمینواسیدهای ساخته شده از لیزین یا آسپارتات، پلی‌آلکیل سیانو‌اکریلات، لیپیدهای خاص و چند پلیمر ژل مانند پلی‌وینیل الکل به طور معمول برای ستر نانوحامل‌ها

هارو تاکاهاشی^(۱) و همکاران [۱۲۱] ثبت آنزیم را در مواد مزوپروس با اندازه گوناگون منافذ مطالعه کردند. اندازه منافذ با ترکیب طول زنجیره آلکیل سورفاکтанتها و یک عامل تورم (تری ایزو پروپیل بنزن) کنترل شد. آنزیم‌ها به صورت انتخابی بر MCM-41 و FSM-16 تهیه شده با سورفاکtant کاتیونی جذب شدند، اندازه ذرات بیش از قطر مولکولی آنزیم‌ها بود و به طور معنی‌داری بر SBA-15 تهیه شده با سورفاکtant غیریونی جذب نشدند. جذب بیشتر به MCM-41 و FSM-16 نسبت به SBA-15 ممکن است به دلیل ویژگی‌های یونی منافذ که با ظرفیت جذب بیشتر دیده شده در رنگدانه‌های کاتیونی این مواد نسبت به رنگدانه‌های آنیونی سازگار است. آنزیم‌ها، هورس رادیش پراکسیداز^(۲) و سوبتیلیسین^(۳)، که در FSM-16 ثبت شده‌اند، تنها وقتی که اندازه متوسط منافذ بیشتر از قطر مولکولی آنزیم بود بهترین پایداری و فعالیت کاتالیتیکی در یک حلال آبی نشان دادند.

(۱) Haruo Takahashi

(۲) Horseradish peroxidase

(۳) Subtilisin



شکل ۸ - نمایش تهیه نانوذرهای پلاتین - مزوپروس و نانوذرهای پلاتین - مزوپروس-گلوکز اکسیداز [۱۱۹].

دهیدروژنаз در داخل ماتریکس پلی تورین را شرح دادند که الکتروشیمی مستقیم از فنیل آلانین را بررسی می کند. مشخص شد که فنیل آلانین دهیدروژناز بر روی الکترود کربن شیشه‌ای اصلاح شده با پلی تورین با روش ساده تثبیت شده است. مطالعه ولتاوی چرخه‌ای نشان داد که فرایند اکسایش برگشت‌ناپذیر بوده و انتشار کنترل شده است. تعداد الکtronون‌های مبادله شده در فرایند الکترو اکسیداسیون به دست آمده و داده‌ها نشان می‌دهند که فنیل آلانین از طریق یک مرحله‌ی الکترونی اکسیده می‌شود. نتیجه‌ها نشان داد که فنیل آلانین با افزایش جریان پیک میزان اکسایش را افزایش می‌دهد و با استفاده از روش پیشنهاد شده، فنیل آلانین با حد تشخیص ۹ نانومولار تعیین شد. کمترین حد تشخیص ۹ نانومولار بدست آمد.

سرانجام جدول ۴ عملکرد تجزیه‌ای زیست حسگرهای آنزیمی را مورد بررسی قرار می‌دهد.

کاربردهای زیست حسگرهای آنزیمی

زیست حسگرهای آنزیمی اغلب در زمینه پزشکی به کار برده می‌شوند. با توجه به شیوع دیابت از این زیست حسگرها برای تشخیص گلوکز استفاده می‌شود [۱۴۲]. از آنجایی که گلوکز اکسیداز

استفاده می‌شوند. بسیاری از روش‌های توسعه یافته برای سنتز نانوذرهای پلیمری با استفاده از امولسیون کردن مونومرها و یا ساختارهای پلیمری به روش تبخیر حلal انجام می‌شود [۱۲۳]. کان^(۱) و همکاران [۱۲۴] با فرایند الگو اوریکاز را بروی فیلم پلی‌آنیلین تثبیت کردند. در این فرایند الکترود پلی‌آنیلین - اوریکاز با الکتروپلیمریزاسیون به دست آمد. سپس الکترود برای حذف اوریکاز که ممکن است تحت تأثیر مونومر آنیلین از فیلم پلی‌آنیلین قرار گیرد هیدرولیز شد. اوریکاز فعال با دوپه کردن بر روی فیلم پلیمری تثبیت شد. این روش تأثیر مونومر بر فعالیت آنزیم را کاهش داده و از مشکل‌های ناشی از حفره‌های پلیمری جلوگیری می‌کند.

در مطالعه دیگر آرورا^(۲) و همکاران [۱۲۵] زیست حسگر آمپرومتریک اوریک اسید با رسوب پلی‌آنیلین بر روی بسترهای شیشه‌ای اکسید قلع ایندیوم^(۳) تهیه کردند. اوریکاز با اتصال عرضی بر سطح پلیمر گلوتارآلدئید فعال شده تثبیت شد. گلوتارآلدئید با پیوند کووالانسی به گروه‌های آمین پایانی فیلم پلی‌آنیلین متصل شد و سر دیگر گلوتارآلدئید به گروه آمینو آنزیمها متصل شد. هیچ تأثیر چشمگیری از تداخل در پاسخ زیست حسگر پیشنهاد شده گزارش نشده است.

امیدنیا^(۴) و همکاران [۱۲۶] استراتژی جذب فنیل آلانین

(۱) Kan

(۲) Arora

(۳) ITO

(۴) Omidinia

جدول ۴- مقایسه عملکرد زیستحسگرهای آنژیمی از نظر تجزیه‌ای.

مرجع	حساسیت	محدوده خطي	حد تشخیص	ماتریکس	آنژیم	آنالیت
(۱۲۷)	-	۰/۵-۶۶mM	۰/۵mM	دکسترین	فنیل الانین دهیدروژناز	فنیل الانین
(۱۲۸)	-	۱۲۰-۱۰ μM و ۰/۵-۸ μM	۰/۲۱۲ μM	پلیمر/نانوییم نقره	بوتریل کولین استراز	پاراکسان
(۱۲۹)	$۱/۵۰ \times ۱۰^{-۷}$ mA/M.cm ²	$۱/۵ \times ۱۰^{-۵}$ - $۵/۸ \times ۱۰^{-۷}$ M	M ۴/۸۵ $\times ۱۰^{-۸}$	مواد کلسیم فسفات	تیروزیناز	تیرامین
(۱۳۰)	-	-	۵۰ $\mu\text{g/kg}$	-	اوره‌آز	پاتولین
(۱۳۱)	-	۷/۵۲-۱۲۵ μM	۰/۸۴ μM	پلیوینیلیدین فلورايد	گلوتاتیون اس-ترانسفراز	آنرازین
(۱۳۲)	-	$۴/۹ \times ۱۰^{-۵}$ - $۵/۸ \times ۱۰^{-۷}$ M	$۴/۹ \times ۱۰^{-۵}$ M	-	اوره‌آز	اوره
(۱۳۳)	$۷/۱ \mu\text{A}/\text{mM.cm}^2$	$۱/۹۸-۹/۲۵\text{mM}$	۰/۲ μM	-	گالاکتوز اکسیداز	گالاکتوز
(۱۳۴)	$۶/۶ \mu\text{A}/\text{mM.cm}^2$	۹×۱۰^{-۷} - $۶/\text{mM}$	۳ μM	Co ₃ O ₄	گالاکتوز اکسیداز	گالاکتوز
(۱۳۵)	$۳۰/۶ \pm ۲/۷ \text{mA}/\text{mM.cm}^2$	-	۱۷ nM	نانولوله کربن	سالیسیلات هیدروکسیلاز و تیروزیناز	متیل سالیسیلات
(۱۳۶)	-	۰/۰۱-۰/۱۵ μM	۰/۰۰۶ μM	MCM-41-nPrNH ₂	فنیل الانین دهیدروژناز	فنیل الانین
(۱۳۷)	-	۰/۰۱-۰/۱۰۰ μM	۹ nM.	پلی-تورین	فنیل الانین دهیدروژناز	فنیل الانین
(۱۳۸)	$۹/۸ \mu\text{A}/\text{mM.cm}^2$	۰/۸-۴۰۰ μM	۰/۳ μM	۳-۳-دی مرکاپتوسوکسینیک اسید، نانوذره طلا	گلوکز اکسیداز	گلوکز
(۱۳۹)	-	-	۷/۵ nM	کیتوسان	استیل کولین استراز	استیل کولین
(۱۴۰)	$۲۵/۷ \text{A}/\text{mM cm}$	۰/۹-۱۱ pM	۰/۵۴ pM	گرافن اکسید کاهش یافته/ نانوذره رادیوم	لاکاز	ابت-استرادیول ۱۷
(۱۴۱)	-	۰/۰۱-۰/۱۵ μM	۰/۰۰۶ μM	پلی-سیستین/کیتوسان	پروپین دهیدروژناز	آل پروپین
(۱۴۲)	-	۱۹۴-۳۸ ng/mL	۲۰ ng/mL	گرافن/پلی آیلین	استیل کولین استراز	کرباریل

تعیین مقدار کمی سه آفت کش ارگانوفسفره در شیر نیز به کار برده می‌شود [۱۵۲].

نتیجه گیری

کنترل مواد غذایی، محیط زیست، ترکیب‌های دارویی، آفت‌کش‌ها و سایر مواد شیمیایی بسیار اهمیت دارد. زیستحسگر به عنوان یک ابزار تحلیلی حساس و گزینشی برای تشخیص عامل‌های گوناگون به کار برده می‌شوند. در این بین زیستحسگرهای آنژیمی به دلیل فعالیت کاتالیستی و اختصاصیت بیشتر، رایج ترین نوع زیستحسگرها به شمار می‌آیند. پایداری گرمایی و ساختاری آنژیم برای عملکرد بهتر زیستحسگرها از اهمیت ویژه‌ای برخوردار است. به همین دلیل نیاز به تثبیت آنژیم‌ها با روش‌های گوناگون در نانومواد می‌باشد. نانومواد با اصلاح مبدل منجر به افزایش سیگنال الکتروشیمیایی می‌شود. نانوموادی مانند

یک آنژیم به نسبت ارزان و به طور گستردگی در دسترس است، گلوکز نیز اغلب به عنوان یک آنالیت مدل در زیستحسگرهای آنژیمی استفاده می‌شود. آنالیت‌های دیگر در بخش پزشکی شامل لاکتات [۱۴۳]، کلسترول، نشانگر کلیوی مانند اوره؛ کراتینین، آلانین آمینوترانسفراز و گلوتامیک اگزالواستیکترانس‌آمیناز می‌باشد [۱۴۴]. زیستحسگرهای آنژیمی در نظارت بر مواد غذایی و محیط زیست برای شناسایی فروکتوز [۱۴۲]، لاکتوز در شیر [۱۴۴]، باقیمانده‌ی سوموم در نمونه‌های گیاهی و خاک [۱۴۵] یا هایپوگرانتین برای تعیین تازگی گوشت ماهی [۱۴۶]، [۱۴۷] به کار برده می‌شوند. زیستحسگرهای آنژیمی در شناسائی فراورده‌های متابولیک و مواد غذایی در کشت‌های سلولی و فرایندهای فناوری زیستی نیز استفاده می‌شوند. گلوکز [۱۴۸، ۱۴۹]، لاکتات [۱۵۰]، گلوتامین و گلوتامات آنالیت مهم در این زمینه هستند [۱۵۱]. حسگرهای زیستی آنژیمی در صنعت لبیات برای

از اندازه‌گیری‌های *in vivo* و *in situ* استفاده می‌شوند. در این مطالعه نیز انواع روش‌های تشییت آنژیم و نانو مواد گوناگون به کار رفته در تشییت آنژیم‌ها بررسی شد.

قدردانی

این مطالعه با حمایت دانشگاه علوم پزشکی تبریز انجام شد که بدین وسیله تشکر و قدردانی می‌شود.

تاریخ دریافت: ۱۳۹۶/۶/۲۱؛ تاریخ پذیرش: ۱۳۹۶/۸/۲۹

نانولوله‌های کربن، نانوذره‌های طلا و نانوذره‌های پلیمری نقش مهمی در توسعه زیست‌حسگرهای آنژیمی بازی می‌کنند. ترکیب گرافن نیز در حسگرهای الکتروشیمیابی افزایش یافته و برای ساخت دستگاه‌های ارزان قیمت و زیست سازگار ارزشمند است. زیست‌حسگرهای هیبریدی که دارای بیش از یک نوع نانو ماده هستند نیز محبوبیت بیشتری پیدا کرده‌اند. افزون بر این در نتیجه ترکیب نانومواد در ساخت زیست‌حسگرها حساسیت و عملکرد کلی زیست‌حسگرها افزایش یافته است. نانوحسگرها به دلیل داشتن اندازه‌های نانو کم‌تهاجمی بوده و برای بسیاری

مراجع

- [1] Adhikari B., Majumdar S., *Polymers in Sensor Applications, Progress in Polymer Science*, **29**(7): 699-766 (2004).
- [2] Arnold M.A., Meyerhoff M.E., *Recent Advances in the Development and Analytical Applications of Biosensing Probes, Critical Reviews in Analytical Chemistry*, **20**(3):149-196 (1988).
- [3] Wilson J.S., "Sensor Technology Handbook", Elsevier; (2004).
- [4] Newman J.D., Setford S.J., *Enzymatic Biosensors, Mol Biotechnol.*, **32**(3): 249-268 (2006).
- [5] Bohunicky B., Mousa S.A., *Biosensors: the New Wave in Cancer Diagnosis, Nanotechnology, Science and Applications*, **4**(1): 1-10 (2011).
- [6] Liu Y., Matharu Z., Howland M.C., Revzin A., Simonian A.L., *Affinity and Enzyme-Based Biosensors: Recent Advances and Emerging Applications in Cell Analysis and Point-of-Care Testing, Analytical and Bioanalytical Chemistry*, **404**(4): 1181-196 (2012).
- [7] Hasanzadeh M., Shadjou N., Eskandani M., de la Guardia M., *Mesoporous Silica-Based Materials for Use in Electrochemical Enzyme Nanobiosensors, TrAC Trends in Analytical Chemistry*, **40**: 106-118 (2012).
- [8] Morrison D.W., Dokmeci M.R., Demirci U., Khademhosseini A., "Clinical Applications of Micro-and Nanoscale Biosensors", John Wiley & Sons, Inc.: Hoboken, NJ, USA; (2007).
- [9] Vo-Dinh T., Cullum B., *Biosensors and Biochips: Advances in Biological and Medical Diagnostics, Fresenius' Journal of Analytical Chemistry*, **366**(6-7): 540-551 (2000).
- [10] Hasanzadeh M., Shadjou N., *Electrochemical Nanobiosensing in Whole Blood: Recent Advances, TrAC Trends in Analytical Chemistry*, **80**:167-176 (2016).
- [11] Krajewska B., *Application of Chitin-and Chitosan-Based Materials for Enzyme Immobilizations: A Review, Enzyme and Microbial Technology*, **35**(2): 126-139 (2004).

- [12] Monošík R., Stredanský M., Šturdík E., **Biosensors-Classification, Characterization and New Trends**, *Acta Chimica Slovaca*, **5**(1): 109-120 (2012).
- [13] Kłos-Witkowska A., **Enzyme-Based Fluorescent Biosensors and Their Environmental, Clinical and Industrial Applications**, *Polish Journal of Environmental Studies*, **24**(1): 124-129 (2015).
- [14] Rhemrev-Boom M., Jonker M., Venema K., Jobst G., Tiessen R., Korf J., **On-Line Continuous Monitoring of Glucose or Lactate by Ultraslow Microdialysis Combined with a Flow-Through Nanoliter Biosensor Based on Poly (m-phenylenediamine) Ultra-Thin Polymer Membrane as Enzyme Electrode**, *Analyst*, **126**(7):1073-1079 (2001).
- [15] Pundir C., **Determination of Serum Lactate with Alkylamine Glass Bound Lactate Oxidase**, Wiley (2005).
- [16] Bohunicky B., Mousa S.A., **Biosensors: the New Wave in Cancer Diagnosis**, *Nanotechnology, Science and Applications*, **4**: 1-9 (2011).
- [17] Soldatkin O., Peshkova V., Dzyadevych S., Soldatkin A., Jaffrezic-Renault N., El'skaya A., **Novel Sucrose Three-Enzyme Conductometric Biosensor**, *Materials Science and Engineering: C.*, **28**(5): 959-964 (2008).
- [18] Khadilkar P., Kelkar V., Khan A., **An Optical Biosensor Employing Phenylalanine Ammonia Lyase-Immobilised Films for Phenylketonuria Detection**, *Indian Journal of Chemical Technology* **20**: 335-40 (2013).
- [19] Horibe T., Kikuchi M., Kawakami K., **Interaction of Human Protein Disulfide Isomerase and Human P5 with Drug Compounds: Analysis Using Biosensor Technology**, *Process Biochemistry*, **43**(12):1330-1337 (2008).
- [20] Kurbanoglu S., Ozkan S.A., Merkoçi A., **Nanomaterials-Based Enzyme Electrochemical Biosensors Operating Through Inhibition for Biosensing Applications**, *Biosens Bioelectron*, **89**:886-898 (2017).
- [21] Justino C.I., Freitas A.C., Pereira R., Duarte A.C., Santos T.A.R., **Recent Developments in Recognition Elements for Chemical Sensors and Biosensors**, *TrAC Trends in Analytical Chemistry*, **68**: 2-17 (2015).
- [22] Yang H., Gong C., Miao L., Xu F., **A Glucose Biosensor Based on Horseradish Peroxidase and Glucose Oxidase Co-entrapped in Carbon Nanotubes Modified Electrode**, *Int. J. Electrochem. Sci.*, **12**: 4958-4969 (2017).
- [23] Gray C.J., Weissenborn M.J., Eyers C.E., Flitsch S.L., **Enzymatic Reactions on Immobilised Substrates**, *Chemical Society Reviews*, **42**(15): 6378-6405 (2013).
- [24] Songa E.A., Okonkwo J.O., **Recent Approaches to Improving Selectivity and Sensitivity of Enzyme-Based Biosensors for Organophosphorus Pesticides: A Review**, *Talanta*, **155**: 289-304 (2016).
- [25] Mohamad N.R., Marzuki N.H.C., Buang N.A., Huyop F., Wahab R.A., **An Overview of Technologies for Immobilization of Enzymes and Surface Analysis Techniques for Immobilized Enzymes**, *Biotechnology & Biotechnological Equipment*, **29**(2): 205-220 (2015).

- [26] Tischer W., Wedekind F., **Immobilized Enzymes: Methods and Applications, Biocatalysis from Discovery to Application**, **18**: 95-126 (1999).
- [27] Norouzian D., **Enzyme Immobilization: the State of Art in Biotechnology, Iranian Journal of Biotechnology**, **1**(4):197-206 (2003).
- [28] Sheldon R., "Cross-Linked Enzyme Aggregates (CLEA® s): Stable and Recyclable Biocatalysts," Portland Press Limited; (2007).
- [29] Buchholz K., Klein J., [1] Characterization of Immobilized Biocatalysts, *Methods in Enzymology*, **135**: 3-30 (1987).
- [30] Li S., Hu J., Liu B., **Use of Chemically Modified PMMA Microspheres for Enzyme Immobilization, Biosystems**, **77**(1): 25-32 (2004).
- [31] Foresti M., Ferreira M., **Chitosan-Immobilized Lipases for the Catalysis of Fatty Acid Esterifications, Enzyme and Microbial Technology**, **40**(4):769-777 (2007).
- [32] Balcão V.M., Paiva A.L., Malcata F.X., **Bioreactors with Immobilized Lipases: State of the Art, Enzyme and Microbial Technology**, **18**(6): 392-416 (1996).
- [33] De Lathouder K., van Bentham D., Wallin S., Mateo C., Lafuente R.F., Guisan J., **Polyethyleneimine (PEI) Functionalized Ceramic Monoliths as Enzyme Carriers: Preparation and Performance, Journal of Molecular Catalysis B: Enzymatic**, **50**(1): 20-27 (2008).
- [34] Spahn C., Minteer S.D., **Enzyme Immobilization in Biotechnology, Recent Patents on Engineering**, **2**(3):195-200 (2008).
- [35] Khan A.A., Alzohairy M.A., **Recent Advances and Applications of Immobilized Enzyme Technologies: A Review, Res. J. Biol. Sci.**, **5**(8): 565-575 (2010).
- [36] Cao L., van Langen L., Sheldon R.A., **Immobilised Enzymes: Carrier-Bound or Carrier-Free? Current opinion in Biotechnology**, **14**(4):387-394 (2003).
- [37] Ittrat P., Chacho T., Pholprayoon J., Suttiwarayanon N., Charoenpanich J., **Application of Agriculture Waste as a Support for Lipase Immobilization, Biocatalysis and Agricultural Biotechnology**, **3**(3): 77-82 (2014).
- [38] Wu C., Zhou G., Jiang X., Ma J., Zhang H., Song H., **Active Biocatalysts Based on Candida Rugosa lipase Immobilized in Vesicular Silica, Process Biochemistry**, **47**(6): 953-959 (2012).
- [39] Kim J., Grate J.W., Wang P., **Nanostructures for Enzyme Stabilization, Chemical Engineering Science**, **61**(3):1017-1026 (2006).
- [40] Khan A.A., Akhtar S., Husain Q., **Direct Immobilization of Polyphenol Oxidases on Celite 545 from Ammonium Sulphate Fractionated Proteins of Potato (Solanum tuberosum), Journal of Molecular Catalysis B: Enzymatic**, **40**(1):58-63 (2006).
- [41] Ansari S.A., Husain Q., **Lactose Hydrolysis from Milk/Whey in Batch and Continuous Processes by Concanavalin A-Celite 545 Immobilized Aspergillus Oryzae β Galactosidase, Food and Bioproducts Processing**, **90**(2): 351-359 (2012).

- [42] Datta S., Christena L.R., Rajaram Y.R.S., *Enzyme Immobilization: an Overview on Techniques and Support Materials*, *3 Biotech.*, **3**(1): 1-9 (2013).
- [43] Gorecka E., Jastrzebska M., *Immobilization Techniques and Biopolymer Carriers, Biotechnology and Food Science*, **75**(1): 65-86 (2011).
- [44] Lee C.-H., Lin T.-S., Mou C.-Y., *Mesoporous Materials for Encapsulating Enzymes*, *Nano Today.*, **4**(2): 165-179 (2009).
- [45] Wang A., Wang H., Zhu S., Zhou C., Du Z., Shen S., *An Efficient Immobilizing Technique of Penicillin Acylase with Combining Mesocellular Silica Foams Support and p-Benzoquinone Cross Linker*, *Bioprocess and Biosystems Engineering*, **31**(5):509-517 (2008).
- [46] Guisan J.M., *Immobilization of Enzymes as the 21st Century Begins: an Already Solved Problem or Still an Exciting Challenge? Immobilization of Enzymes and Cells.*, **33** :1-13 (2006).
- [47] Han Y.D., Jang Y.H., Yoon H.C., *Cascadic Multienzyme Reaction-Based Electrochemical Biosensors*, *Biosensors Based on Aptamers and Enzymes: Springer*, **8**: 221-251 (2013).
- [48] Sassolas A., Blum L.J., Leca-Bouvier B.D., *Immobilization Strategies to Develop Enzymatic Biosensors*, *Biotechnology Advances*, **30**(3):489-511 (2012).
- [49] Jesionowski T., Zdarta J., Krajewska B., *Enzyme Immobilization by Adsorption: A Review, Adsorption*, **20**(5-6): 801-821 (2014).
- [50] Choi M.M., *Progress in Enzyme-Based Biosensors Using Optical Transducers*, *Microchimica Acta*, **148**(3):107-132 (2004).
- [51] Klotzbach T.L., Watt M., Ansari Y., Minteer S.D., *Improving the Microenvironment for Enzyme Immobilization at Electrodes by Hydrophobically Modifying Chitosan and Nafion® Polymers*, *Journal of Membrane Science*, **311**(1): 81-88 (2008).
- [52] Aehle W.. "Enzymes in Industry: Production and Applications", John Wiley & Sons, Inc., (2007).
- [53] Costa S., Azevedo H.S., Reis R.L., "17 Enzyme Immobilization in Biodegradable Polymers for Biomedical Applications", Wiely (2005).
- [54] Won K., Kim S., Kim K.-J., Park H.W., Moon S.-J., *Optimization of Lipase Entrapment in Ca-Alginate Gel Beads*, *Process Biochemistry*, **40**(6): 2149-2154 (2005).
- [55] Shen Q., Yang R., Hua X., Ye F., Zhang W., Zhao W., *Gelatin-Templated Biomimetic Calcification for β-Galactosidase Immobilization*, *Process Biochemistry*, **46**(8):1565-1571 (2011).
- [56] Gao S., Wang Y., Diao X., Luo G., Dai Y., *Effect of Pore Diameter and Cross-Linking Method on the Immobilization Efficiency of Candida Rugosa Lipase in SBA-15*, *Bioresource Technology*, **101**(11):3830-3837 (2010).
- [57] López A., Lázaro N., Marqués A.M., *The Interphase Technique: A Simple Method of Cell Immobilization in Gel-Beads*, *J. Microbiol Methods.*, **30**(3): 231-4 (1997).

- [58] Singh B., Biotechnology Expanding Horizonta-Amylase Immobilization on the Silica Nanoparticles for Cleaning Performance Towards Starch Soils in Laundry Detergents, *J. Mol. Catal. B*, **74**: 1-5 (2009).
- [59] Banu O., "Immobilization of Lipase from Candida Rugosa on Hydrophobic and Hydrophilic Supports", Ýzmir Institute of Technology, (2001). [Turki]
- [60] Zhai R., Zhang B., Wan Y., Li C., Wang J., Liu J., Chitosan–Halloysite Hybrid-Nanotubes: Horseradish Peroxidase Immobilization and Applications in Phenol Removal, *Chemical Engineering Journal*, **214**:304-309 (2013).
- [61] Honda T., Miyazaki M., Nakamura H., Maeda H., Immobilization of Enzymes on a Microchannel Surface Through Cross-Linking Polymerization, *Chemical Communications*, **40**: 5062-5064 (2005).
- [62] Hanefeld U., Gardossi L., Magner E., Understanding Enzyme Immobilisation, *Chemical Society Reviews.*, **38**(2):453-468 (2009).
- [63] Sheldon R.A., Characteristic Features and Biotechnological Applications of Cross-Linked Enzyme Aggregates (CLEAs), *Appl Microbiol Biotechnol.*, **92**(3):467-477 (2011).
- [64] Migneault I., Dartiguenave C., Bertrand M.J., Waldron K.C., Glutaraldehyde: Behavior in Aqueous Solution, Reaction with Proteins, and Application to Enzyme Crosslinking. *Biotechniques*, **37**(5):790-806 (2004).
- [65] Öztürk B., "Immobilization of Lipase from Candida Rugosa on Hydrophobic and Hydrophilic Supports", Ízmir Institute of Technology; (2001).
- [66] Huang L., Cheng Z.-M., Immobilization of Lipase on Chemically Modified Bimodal Ceramic Foams for Olive Oil Hydrolysis, *Chemical Engineering Journal*, **144**(1):103-109 (2008).
- [67] Sakai S., Liu Y., Yamaguchi T., Watanabe R., Kawabe M., Kawakami K., Immobilization of Pseudomonas Cepacia Lipase Onto Electrospun Polyacrylonitrile Fibers Through Physical Adsorption and Application to Transesterification in Nonaqueous Solvent, *Biotechnol Lett.*, **32**(8):1059-1062 (2010).
- [68] Park J.-M., Kim M., Park H.-S., Jang A., Min J., Kim Y.-H., Immobilization of Lysozyme-CLEA onto Electrospun Chitosan Nanofiber for Effective Antibacterial Applications, *International journal of Biological Macromolecules*, **54**: 37-43 (2013).
- [69] Berezhetskyy A., Sosovska O., Durrieu C., Chovelon J.-M., Dzyadevych S., Tran-Minh C., Alkaline Phosphatase Conductometric Biosensor for Heavy-Metal Ions Determination, *Irbm.*, **29**(2):136-40 (2008).
- [70] Zhang Z., Xia S., Leonard D., Jaffrezic-Renault N., Zhang J., Bessueille F., A Novel Nitrite Biosensor Based on Conductometric Electrode Modified with Cytochrome c Nitrite Reductase Composite Membrane, *Biosensors and Bioelectronics*, **24**(6):1574-9 (2009).

- [71] Gogol E., Evtugyn G., Marty J.-L., Budnikov H., Winter V., [Amperometric Biosensors Based on Nafion Coated Screen-Printed Electrodes for the Determination of Cholinesterase Inhibitors](#), *Talanta.*, **53**(2):379-389 (2000).
- [72] Andreescu S., Marty J.-L., [Twenty Years Research in Cholinesterase Biosensors: from Basic Research to Practical Applications](#), *Biomolecular Engineering*, **23**: 11-15 (2006).
- [73] Luo X., Morrin A., Killard A.J., Smyth M.R., [Application of Nanoparticles in Electrochemical Sensors and Biosensors](#), *Electroanalysis*, **18**(4): 319-326 (2006).
- [74] Ansari S.A., Husain Q., [Potential Applications of Enzymes Immobilized on/in Nano Materials: A Review](#), *Biotechnology Advances*, **30**(3):512-523 (2012).
- [75] Kerman K., Saito M., Tamiya E., Yamamura S., Takamura Y., [Nanomaterial-Based Electrochemical Biosensors for Medical Applications](#), *TrAC Trends in Analytical Chemistry*, **27**(7): 585-592 (2008).
- [76] Cipolatti E.P., Silva M.J.A., Klein M., Feddern V., Feltes M.M.C., Oliveira J.V., et al. [Current Status and Trends in Enzymatic Nanoimmobilization](#), *Journal of Molecular Catalysis B: Enzymatic*, **99**:56-67 (2014).
- [77] Novoselov K.S., Fal V., Colombo L., Gellert P., Schwab M., Kim K., [A Roadmap for Graphene](#), *Nature*, **490**(7419):192-200 (2012).
- [78] Novoselov K.S., Geim A.K., Morozov S.V., Jiang D., Zhang Y., Dubonos S.V., et al. [Electric Field Effect in Atomically Thin Carbon Films](#), *Science*, **306**(5696):666-9 (2004).
- [79] Kuila T., Bose S., Khanra P., Mishra A.K., Kim N.H., Lee J.H., [Recent Advances in Graphene-Based Biosensors](#), *Biosensors and Bioelectronics*, **26**(12):4637-4648 (2011).
- [80] Pumera M., [Graphene in Biosensing](#), *Materials Today*, **14**(7): 308-315 (2011).
- [81] Shao Y., Wang J., Wu H., Liu J., Aksay I.A., Lin Y., [Graphene Based Electrochemical Sensors and Biosensors: A Review](#), *Electroanalysis*, **22**(10):1027-1036 (2010).
- [82] Su C.-Y., Lu A.-Y., Xu Y., Chen F.-R., Khlobystov A.N., Li L.-J., [High-Quality Thin Graphene Films from Fast Electrochemical Exfoliation](#), *ACS Nano*, **5**(3):2332-9 (2011).
- [83] Reina A., Jia X., Ho J., Nezich D., Son H., Bulovic V., et al. [Large Area, Few-Layer Graphene Films on Arbitrary Substrates by Chemical Vapor Deposition](#), *Nano Letters*, **9**(1):30-55 (2008).
- [84] Marcano D.C., Kosynkin D.V., Berlin J.M., Sinitkii A., Sun Z., Slesarev A., "Improved Synthesis of Graphene Oxide", *Wiely* (2010) pp. 125-129.
- [85] Hummers Jr W.S., Offeman R.E., [Preparation of Graphitic Oxide](#), *Journal of the American Chemical Society*, **80**(6):1339- 44 (1958).
- [86] Barberis A., Spissu Y., Fadda A., Azara E., Bazzu G., Marceddu S., [Simultaneous Amperometric Detection of Ascorbic Acid and Antioxidant Capacity in Orange, Blueberry and Kiwi Juice, by a Telemetric System Coupled with a Fullerene-or Nanotubes-Modified Ascorbate Subtractive Biosensor](#), *Biosensors and Bioelectronics*, **67**: 214-23 (2015).

- [87] Gao H., Duan H., **2D and 3D Graphene Materials: Preparation and Bioelectrochemical Applications**, *Biosensors and Bioelectronics*, **65**:404-19 (2015).
- [88] Yu Y., Chen Z., He S., Zhang B., Li X., Yao M., **Direct Electron Transfer of Glucose Oxidase and Biosensing for Glucose Based on PDDA-Capped Gold Nanoparticle Modified Graphene/Multi-Walled Carbon Nanotubes Electrode**, *Biosensors and Bioelectronics*, **52**:147-52 (2014).
- [89] Liu Y., Yu D., Zeng C., Miao Z., Dai L., **Biocompatible Graphene Oxide-Based Glucose Biosensors**, *Langmuir*, **26**(9):61 , 58-60 (2010)
- [90] Shan C., Yang H., Song J., Han D., Ivaska A., Niu L., **Direct Electrochemistry of Glucose Oxidase and Biosensing for Glucose Based on Graphene**, *Analytical Chemistry*, **81**(6): 2378-82 (2009).
- [91] Wu H., Wang J., Kang X., Wang C., Wang D., Liu J., **Glucose Biosensor Based on Immobilization of Glucose Oxidase in Platinum Nanoparticles/Graphene/Chitosan Nanocomposite Film**, *Talanta.*, **80**(1):403-6 (2009).
- [92] Iijima S., **Carbon Nanotubes: Past, Present, and Future**, *Physica B: Condensed Matter.*, **323**(1):1-5 (2002).
- [93] Feng W., Ji P., **Enzymes Immobilized on Carbon Nanotubes**, *Biotechnology Advances*, **29**(6): 889-95 (2011).
- [94] Wang S., Zhang Q., Wang R., Yoon S., Ahn J., Yang D., **Multi-Walled Carbon Nanotubes for the Immobilization of Enzyme in Glucose Biosensors**, *Electrochemistry Communications*, **5**(9):800-3 (2003).
- [95] Lee G.-J., Choi S.K., Choi S., Park J.H., Park H.-K., **Enzyme-Immobilized CNT Network Probe for in Vivo Neurotransmitter Detection**, *Nanoscale Biocatalysis: Methods and Protocols*, **33** (4) :65-75 (2011).
- [96] Zhang F.-F., Wang X.-L., Li C.-X., Li X.-H., Wan Q., Xian Y.-Z., et al. **Assay for Uric Acid Level in Rat Striatum by a Reagentless Biosensor Based on Functionalized Multi-Wall Carbon Nanotubes with Tin Oxide**, *Analytical and Bioanalytical Chemistry*, **382**(6):1368-73 (2005).
- [97] Shoja Y., Rafati A.A., Ghodsi J., **Enzymatic Biosensor Based on Entrapment of d-amino Acid Oxidase on Gold Nanofilm/MWCNTs Nanocomposite Modified Glassy Carbon Electrode by Sol-Gel Network: Analytical Applications for d-alanine in Human Serum**, *Enzyme and Microbial Technology*,**1**: 7-20 (2017)
- [98] Rawal R., Chawla S., Chauhan N., Dahiya T., Pundir C., **Construction of Amperometric Uric Acid Biosensor Based on Uricase Immobilized on PBNPs/cMWCNT/PANI/Au Composite**, *International Journal of Biological Macromolecules*, **50**(1):112-8 (2012).
- [99] Jain K., **Current Status of Molecular Biosensors**, *Medical Device Technology*, **14**(4):10-5 (2003).

- [100] Tiwari P., Bawage S., Singh S., Hamblin M., Avci P., **Gold Nanoparticles and Their Applications in Photomedicine, Diagnosis and Therapy**, *Applications of Nanoscience in Photomedicine: Woodhead Publishing Cambridge*, : 249-66 (2015).
- [101] Li Y., Schluesener H.J., Xu S., **Gold Nanoparticle-Based Biosensors**, *Gold Bulletin.*, **43**(1): 29-41 (2010).
- [102] Xu J., Zeng F., Wu S., Liu X., Hou C., Tong Z., **Gold Nanoparticles Bound on Microgel Particles and Their Application as an Enzyme Support**, *Nanotechnology*, **18**(26): 265704 (2007).
- [103] Vertegel A.A., Siegel R.W., Dordick J.S., **Silica Nanoparticle Size Influences the Structure and Enzymatic Activity of Adsorbed Lysozyme**, *Langmuir*, **20**(16):6800-7 (2004).
- [104] Mandal S., Phadtare S., Selvakannan P., Pasricha R., Sastry M., **Fractal Gold Nanostructures Produced by the Spontaneous Reduction of Chloroaurate Ions in Thermally Evaporated Hexadecylaniline Thin Films**, *Nanotechnology*, **14**(8):878-83 (2003).
- [105] Phadtare S., Vinod V., Mukhopadhyay K., Kumar A., Rao M., Chaudhari R.V., **Immobilization and Biocatalytic Activity of Fungal Protease on Gold Nanoparticle-Loaded Zeolite Microspheres**, *Biotechnology and Bioengineering*, **85**(6):629-37 (2004).
- [106] Vicentini F.C., Garcia L.L., Figueiredo-Filho L.C., Janegitz B.C., Fatibello-Filho O., **A Biosensor Based on Gold Nanoparticles, Dihexadecylphosphate, and Tyrosinase for the Determination of Catechol in Natural Water**, *Enzyme and Microbial Technology*, **84**:17-23 (2016).
- [107] Chauhan N., Pundir C.S., **An Amperometric Uric Acid Biosensor Based on Multiwalled Carbon Nanotube–Gold Nanoparticle Composite**, *Analytical Biochemistry*, **413**(2):97-103 (2011).
- [108] Tang L., Zhou Y., Zeng G., Li Z., Liu Y., Zhang Y., **A Tyrosinase Biosensor Based on Ordered Mesoporous Carbon–Au/l-lysine/Au Nanoparticles for Simultaneous Determination of Hydroquinone and Catechol**, *Analyst.*, **138**(12):3552-60 (2013).
- [109] Chen S., Yuan R., Chai Y., Hu F., **Electrochemical Sensing of Hydrogen Peroxide Using Metal Nanoparticles: A Review**, *Microchimica Acta*, **180**(1-2):15-32 (2013).
- [110] Crespilho F.N., Iost R.M., Travain S.A., Oliveira O.N., Zucolotto V., **Enzyme Immobilization on Ag Nanoparticles/Polyaniline Nanocomposites**, *Biosensors and Bioelectronics*, **24**(10):3073-7 (2009).
- [111] Zhang F., Wang X., Ai S., Sun Z., Wan Q., Zhu Z., et al. **Immobilization of Uricase on ZnO Nanorods for a Reagentless Uric Acid Biosensor**, *Analytica Chimica Acta.*, **519**(2):155-60 (2004).
- [112] Kochana J., Wapiennik K., Kozak J., Knihnicki P., Pollap A., Woźniakiewicz M., **Tyrosinase-Based Biosensor for Determination of Bisphenol A in a Flow-batch System**, *Talanta*, **144**:163-70 (2015).
- [113] Romero-Arcos M., Garnica-Romo M.G., Martínez-Flores H.E., **Electrochemical Study and Characterization of an Amperometric Biosensor Based on the Immobilization of Laccase in a Nanostructure of TiO₂ Synthesized by the Sol-Gel Method**, *Materials*, **9**(7):543 (2016).

- [114] Jaganathan H., Godin B., **Biocompatibility Assessment of Si-Based Nano-and Micro-Particles**, *Advanced Drug Delivery Reviews*, **64**(15):1800-19 (2012).
- [115] de Souza K.C., Mohallem N.D.S., de Souza E., **Nanocompósitos Magnéticos: Potencialidades de Aplicações em Biomedicina**, *Quim Nova*, **34**(10): 1692-703 (2011).
- [116] Magner E., **Immobilisation of Enzymes on Mesoporous Silicate Materials**, *Chemical Society Reviews*, **42**(15):6213-22 (2013).
- [117] Hasanzadeh M., Shadjou N., de la Guardia M., Eskandani M., Sheikhzadeh P., **Mesoporous Silica-Based Materials for use in Biosensors**, *TrAC Trends in Analytical Chemistry*, **33**:117-29 (2012).
- [118] Reis P., Witula T., Holmberg K., **Mesoporous Materials as Host for an Entrapped Enzyme**, *Microporous and Mesoporous Materials*, **110**(2):355-62 (2008).
- [119] Li H., He J., Zhao Y., Wu D., Cai Y., Wei Q., **Immobilization of Glucose Oxidase and Platinum on Mesoporous Silica Nanoparticles for the Fabrication of Glucose Biosensor**, *Electrochimica Acta*, **56**(7):2960-5 (2011).
- [120] Shimomura T., Itoh T., Sumiya T., Mizukami F., Ono M., **Amperometric Biosensor Based on Enzymes Immobilized in Hybrid Mesoporous Membranes for the Determination of Acetylcholine**, *Enzyme and Microbial Technology*, **45**(6):443-448 (2009).
- [121] Takahashi H., Li B., Sasaki T., Miyazaki C., Kajino T., Inagaki S., **Immobilized Enzymes in Ordered Mesoporous Silica Materials and Improvement of Their Stability and Catalytic Activity in an Organic Solvent**, *Microporous and Mesoporous Materials*, **44**: 755-762 (2001).
- [122] Dhawan G., Sumana G., Malhotra B., **Recent Developments in Urea Biosensors**, *Biochemical Engineering Journal*, **44**(1):42-52 (2009).
- [123] Bosio V.E., Islan G.A., Martínez Y.N., Durán N., Castro G.R., **Nanodevices for the Immobilization of Therapeutic Enzymes**, *Critical Reviews in Biotechnology*, **36**(3):447-464 (2016).
- [124] Kan J., Pan X., Chen C., **Polyaniline–Uricase Biosensor Prepared with Template Process**, *Biosensors and Bioelectronics*, **19**(12):1635-40 (2004).
- [125] Arora K., Sumana G., Saxena V., Gupta R.K., Gupta S., Yakhmi J., et al. **Improved Performance of Polyaniline-Uricase Biosensor**, *Analytica Chimica Acta*, **594**(1):17-23 (2007).
- [126] Omidinia E., Shadjou N., Hasanzadeh M., **Immobilization of Phenylalanine-Dehydrogenase on Nano-Sized Polytaurine: A New Platform for Application of Nano-Polymeric Materials on Enzymatic Biosensing Technology**, *Materials Science and Engineering: C.*, **42**:368-73 (2014).
- [127] Naghib S.M., Rabiee M., Omidinia E., Khoshkenara P., Zeini D., **Biofunctionalization of Dextran-Based Polymeric Film Surface Through Enzyme Immobilization for Phenylalanine Determination**, *International Journal of Electrochemical Science*, **7**: 120-35 (2012).

- [128] Turan J., Kesik M., Soylemez S., Goker S., Coskun S., Unalan H.E., et al. *An Effective Surface Design Based on a Conjugated Polymer and Silver Nanowires for the Detection of Paraoxon in Tap Water and Milk, Sensors and Actuators B: Chemical*, **228**:278-86 (2016).
- [129] López M.S.-P., Redondo-Gómez E., López-Ruiz B., *Electrochemical Enzyme Biosensors Based on Calcium Phosphate Materials for Tyramine Detection in Food Samples, Talanta*, **175**: 209-216 (2017).
- [130] Soldatkin O.O., Stepurska K., Arkhypova V., Soldatkin A., El'Skaya A., Lagarde F., *Conductometric Enzyme Biosensor for Patulin Determination, Sensors and Actuators B: Chemical*, **239**:1010-5 (2017).
- [131] Andreou V.G., Clonis Y.D., *Novel Fiber-Optic Biosensor Based on Immobilized Glutathione S-Transferase and Sol-Gel Entrapped Brom cresol Green for the Determination of Atrazine, Analytica Chimica Acta*, **460**(2):151-61 (2002).
- [132] Ghouchian H., Mousaie Rad A., Elyasvandi H., *A Conductometric Urea Biosensor by Direct Immobilization of Urease on Pt Electrode, Iranian Journal of Chemistry and Chemical Engineering (IJCCE)*, **23**(2):55-63 (2004).
- [133] Kanyong P., Hughes G., Pemberton R.M., Jackson S.K., Hart J.P., *Amperometric Screen-Printed Galactose Biosensor for Cell Toxicity Applications, Analytical Letters.*, **49**(2): 236-244 (2016).
- [134] Dalkiran B., Erden P.E., Kılıç E., *Electrochemical Biosensing of Galactose Based on Carbon Materials: Graphene Versus Multi-Walled Carbon Nanotubes, Analytical and Bioanalytical Chemistry*, **408**(16):4329-39 (2016).
- [135] Fang Y., Bullock H., Lee S.A., Sekar N., Eiteman M.A., Whitman W.B., et al. *Detection of Methyl Salicylate Using bi-Enzyme Electrochemical Sensor Consisting Salicylate Hydroxylase and Tyrosinase, Biosensors and Bioelectronics*, **85**:603-10 (2016).
- [136] Omidinia E., Shadjou N., Hasanzadeh M., *Electrochemical Nanobiosensing of Phenylalanine Using Phenylalanine Dehydrogenase Incorporated on Amino-Functionalized Mobile Crystalline Material-41, IEEE Sensors Journal*, **14**: 1081-1084 (2014).
- [137] Wang Z., Luo X., Wan Q., Wu K., Yang N., *Versatile Matrix for Constructing Enzyme-Based Biosensors, ACS Applied Materials & Interfaces*, **6**(19):17296-305 (2014).
- [138] Warner J., Andreescu S., *An Acetylcholinesterase (AChE) Biosensor with Enhanced Solvent Resistance Based on Chitosan for the Detection of Pesticides, Talanta*, **146**: 279-84 (2016).
- [139] Povedano E., Cincotto F.H., Parrado C., Díez P., Sánchez A., Canevari T.C., *Decoration of Reduced Graphene Oxide with Rhodium Nanoparticles for the Design of a Sensitive Electrochemical Enzyme Biosensor for 17 β -Estradiol, Biosensors and Bioelectronics*, **89**: 343-351 (2017).
- [140] Hasanzadeh M., Hassanpour S., Nahr A.S., Shadjou N., Mokhtarzadeh A., Mohammadi J., *Proline Dehydrogenase-Entrapped Mesoporous Magnetic Silica Nanomaterial for Electrochemical Biosensing of L-Proline in Biological Fluids, Enzyme and Microbial Technology*, **105**: 64-76 (2017).

- [141] Li Y., Zhang Y., Han G., Xiao Y., Li M., Zhou W., **An Acetylcholinesterase Biosensor Based on Graphene/Polyaniline Composite Film for Detection of Pesticides**, *Chinese Journal of Chemistry*, **34**(1):82-88 (2016).
- [142] Mross S., Pierrat S., Zimmermann T., Kraft M., **Microfluidic Enzymatic Biosensing Systems: A Review**, *Biosens Bioelectron*, **70**: 376-391 (2015).
- [143] Kurita R., Yabumoto N., Niwa O., **Miniaturized One-Chip Electrochemical Sensing Device Integrated with a Dialysis Membrane and Double Thin-Layer Flow Channels for Measuring Blood Samples**, *Biosensors and Bioelectronics*, **21**(8):1649-53 (2006).
- [144] Fornera S., Kuhn P., Lombardi D., Schlüter A.D., Dittrich P.S., Walde P., **Sequential Immobilization of Enzymes in Microfluidic Channels for Cascade Reactions**, *ChemPlusChem.*, **77**(2):98-101 (2012).
- [145] Duford D.A., Xi Y., Salin E.D., **Enzyme Inhibition-Based Determination of Pesticide Residues in Vegetable and Soil in Centrifugal Microfluidic Devices**, *Analytical Chemistry*, **85**(16): 7834-7841 (2013).
- [146] Dolmacı N., Çete S., Arslan F., Yaşar A., **An Amperometric Biosensor for Fish Freshness Detection from Xanthine Oxidase Immobilized in Polypyrrole-Polyvinylsulphonate Film**, *Artificial Cells, Blood Substitutes, and Biotechnology*, **40**(4): 275-279 (2012).
- [147] Lawal A., Adelaju S., **Polypyrrole-Based Potentiometric Phosphate Biosensor**, *Journal of Molecular Catalysis B: Enzymatic*, **63**(1): 45-49 (2010).
- [148] Ges I.A., Baudenbacher F., **Enzyme-Coated Microelectrodes to Monitor Lactate Production in a Nanoliter Microfluidic Cell Culture Device**, *Biosens Bioelectron*, **26**(2): 828-833 (2010).
- [149] Rodrigues N.P., Sakai Y., Fujii T., **Cell-Based Microfluidic Biochip for the Electrochemical Real-Time Monitoring of Glucose and Oxygen**, *Sensors and Actuators B: Chemical*, **132**(2): 608-613 (2008).
- [150] Cheng W., Klauke N., Sedgwick H., Smith G.L., Cooper J.M., **Metabolic Monitoring of the Electrically Stimulated Single Heart Cell within a Microfluidic Platform**, *Lab on a Chip.*, **6**(11): 1424-1431 (2006).
- [151] Bäcker M., Rakowski D., Poghossian A., Biselli M., Wagner P., Schöning M.J., **Chip-Based Amperometric Enzyme Sensor System for Monitoring of Bioprocesses by Flow-Injection Analysis**, *Journal of Biotechnology*, **163**(4): 371-376 (2013).
- [152] Mishra R.K., Dominguez R.B., Bhand S., Muñoz R., Marty J-L., **A Novel Automated Flow-Based Biosensor for the Determination of Organophosphate Pesticides in Milk**, *Biosensors and Bioelectronics*, **32**(1):56-61 (2012).